

บทที่ 4

ผลการทดลองและวิจารณ์

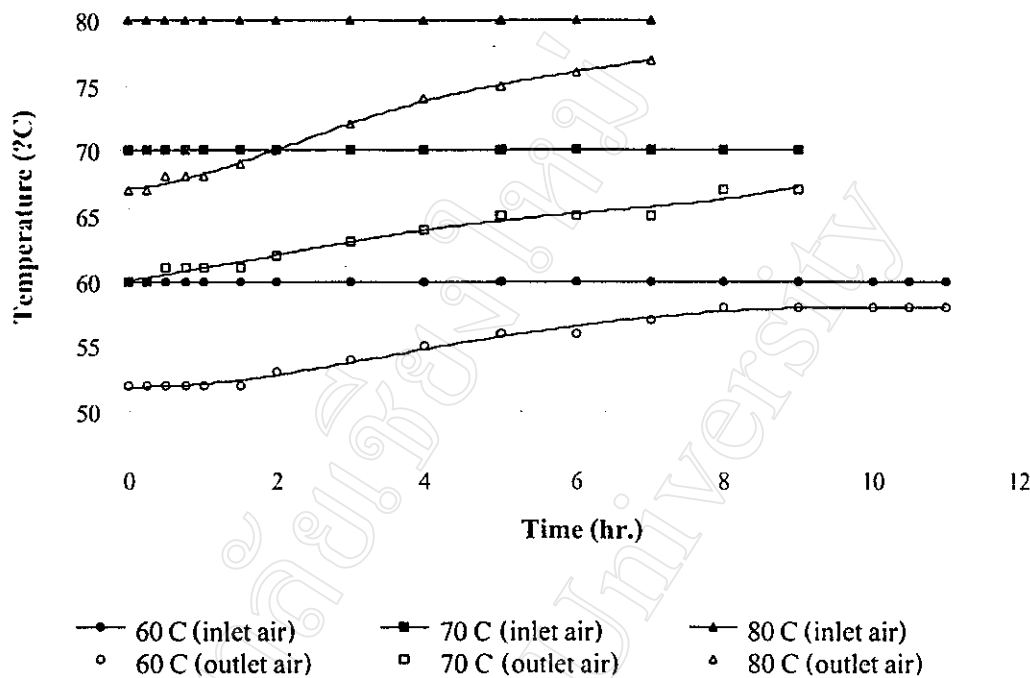
4.1 การลดความชื้นของหัวไชยาผ่านด้วยเครื่องอบแห้งไฟฟ้าประเภทถาด (Electrical Tray dryer)

ตัวอย่างที่ใช้คือหัวไชยาผ่านขนาด $0.3 \times 0.3 \text{ cm}$. โดยประมาณ บรรจุลงในถาดด้วยชั้นความหนา 1 cm . อบแห้งด้วยลมร้อนที่มีความเร็วลมคงที่ 0.3 m/s . ใช้ลมร้อนที่มีอุณหภูมิคงที่ตลอดการทดลอง ลมร้อนที่ใช้มี 3 ระดับอุณหภูมิ คือ 60°C 70°C และ 80°C

4.1.1 การเปลี่ยนแปลงอุณหภูมิอาหารขาอกร

กระบวนการอบแห้งหัวไชยาด้วยลมร้อนสภาวะอุณหภูมิและความชื้นคงที่ ปราศจากการณ์ที่พบคล้ายๆ กันทั้ง 3 อุณหภูมิคือเมื่อเกิดการสัมผัสร้อนแรงระหว่างลมร้อนและตัวอย่างซึ่งมีความชื้นเริ่มต้นสูง การระเหยของน้ำหรือความชื้นเกิดขึ้นบริเวณผิวน้ำของตัวอย่างอย่างรวดเร็ว ทำให้อาหารชื้นและเย็นขึ้นอย่างรวดเร็ว ในช่วงแรกนี้จึงพบว่าอุณหภูมิอาหารขาอกรที่วัดได้จะมีค่าต่ำกว่าอุณหภูมิขาเข้ามาก ในการทดลองจะเห็นว่าเมื่อเวลาผ่านไป 5 นาที การทดลองอบแห้งด้วยลมร้อนขาเข้า 60°C ขาอกมماพบว่ามีอุณหภูมิลดลงเหลือ 52°C ส่วนการทดลองอบแห้งด้วยลมร้อนขาเข้า 70°C และ 80°C มีอุณหภูมิอาหารขาอกรลดลงเหลือ 60°C และ 67°C ตามลำดับ ช่วงแรกนี้ ลมร้อนขาอกรจะมีอุณหภูมิต่ำลงที่ซึ่งจะใช้เวลาแตกต่างกันขึ้นอยู่กับระดับอุณหภูมิลมร้อนที่ใช้ในการอบแห้ง จากรูปที่ 4-1 การอบแห้งด้วยลมร้อน 60°C อุณหภูมิขาอกรคงที่อยู่ที่ 52°C เป็นเวลา 1 ชั่วโมง 30 นาที ส่วนการอบแห้งด้วยลมร้อน 70°C และ 80°C ใช้เวลาสักนิดกว่าทั้งนี้เนื่องจากอาหารร้อนอุณหภูมิสูงมีความสามารถในการระเหยความชื้นได้มากกว่าอาหารร้อนอุณหภูมิต่ำทำให้อุณหภูมิลดต่ำมากกว่า การเปลี่ยนแปลงอุณหภูมิพบว่าเกิดขึ้น 2 ครั้ง โดยการอบแห้งด้วยลมร้อน 70°C ใน 15 นาทีแรกลมร้อนรักษาระดับอุณหภูมิไว้ที่ 60°C และในช่วงระหว่าง 15 นาที ถึง 1 ชั่วโมง 30 นาที อุณหภูมิเพิ่มขึ้นและคงที่อยู่ที่ 61°C ส่วนการอบแห้งด้วยลมร้อน 80°C ใน 0.25 ชั่วโมงแรกลมร้อนรักษาระดับอุณหภูมิไว้ที่ 67°C และระหว่างเวลา 15 นาที ถึง ชั่วโมงที่ 1 อุณหภูมิเพิ่มขึ้นและคงที่อยู่ที่ 68°C (ตารางภาคผนวกที่ 1-1)

หลังจากนี้เมื่อกระบวนการอบแห้งดำเนินต่อไปปริมาณความชื้นที่จะระเหยลดน้อยลง ทำให้ความชื้นในอาหารร้อนมีน้อยลง อุณหภูมิลมร้อนขาอกรคงที่เพิ่มขึ้นเรื่อยๆ จนกระทั่งถึงช่วงสุดท้ายที่อุณหภูมิเพิ่มขึ้นถึงจุดสูงสุด แต่จะไม่เท่ากับอุณหภูมิขาเข้า โดยที่อุณหภูมิอาหารขาเข้า 60°C มีอุณหภูมิอาหารขาอกรสูดท้าย 58°C ที่อุณหภูมิอาหารขาเข้า 70°C และ 80°C มีอุณหภูมิอาหารขาอกรสูดท้าย 67°C และ 77°C ตามลำดับ ซึ่งสอดคล้องกับงานทดลองของ Singh (1994) พบว่า อุณหภูมิอาหารขาอกรจะเพิ่มขึ้นตามเวลาการลดความชื้น



รูปที่ 4-1 กราฟอุณหภูมิอากาศขาเข้า และอุณหภูมิอากาศขาออกในการอบแห้งห้มหัวใหญ่ โดยใช้เครื่องอบแห้งไฟฟ้า ประเภทตาก

4.1.2 การเปลี่ยนแปลงความชื้นของห้มหัวใหญ่

ความชื้นเริ่มต้นของห้มหัวใหญ่ก่อนอบแห้งมีค่าอยู่ในช่วง 92.36%-93.0% (w.b.) เมื่อเริ่มอบห้มหัวใหญ่ได้รับความร้อนจากลมร้อนมีผลให้เกิดการสูญเสียความชื้นขึ้น ดังรูปที่ 4-2 จะเห็นว่าทั้ง 3 การทดลองคือการอบแห้งด้วยลมร้อน 60°C 70°C และ 80°C มีการลดลงของปริมาณความชื้นอย่างต่อเนื่องอยู่ตลอดระยะเวลาการอบแห้ง แต่การอบแห้งด้วยลมร้อน 80°C สามารถลดความชื้นได้เร็วกว่าการอบแห้งด้วยลมร้อน 70°C และ 60°C ตามลำดับ ดังจะเห็นได้ว่าเด่นกราฟความชื้นของการอบแห้งด้วยลมร้อน 80°C มีความชันมากกว่าเด่นกราฟความชื้นของการอบแห้งด้วยลมร้อน 70°C และ 60°C ตามลำดับ ทั้งนี้เนื่องจากอากาศอุณหภูมิสูงมีความชื้นสัมพัทธ์ต่ำกว่าอากาศอุณหภูมิต่ำ การอบแห้งด้วยลมร้อน 80°C จึงใช้เวลาในการอบแห้งเพียง 7 ชั่วโมง 15 นาที ในการลดความชื้นให้เหลือประมาณ 12.0% (w.b.) การอบด้วยลมร้อน 70°C จะต้องใช้เวลานานขึ้นโดยใช้เวลา 8 ชั่วโมง 15 นาที ส่วนการอบด้วยลมร้อน 60°C จะใช้เวลานานที่สุดคือ 11 ชั่วโมง 15 นาที

ความสัมพันธ์ระหว่างความชื้นและเวลาอบแห้งเป็นไปตามสมการดังนี้
ที่อุณหภูมิ 60°C

$$y = -0.7301x^2 + 0.0518x + 92.26 \quad (R^2 = 0.9923)$$

ที่อุณหภูมิ 70°C

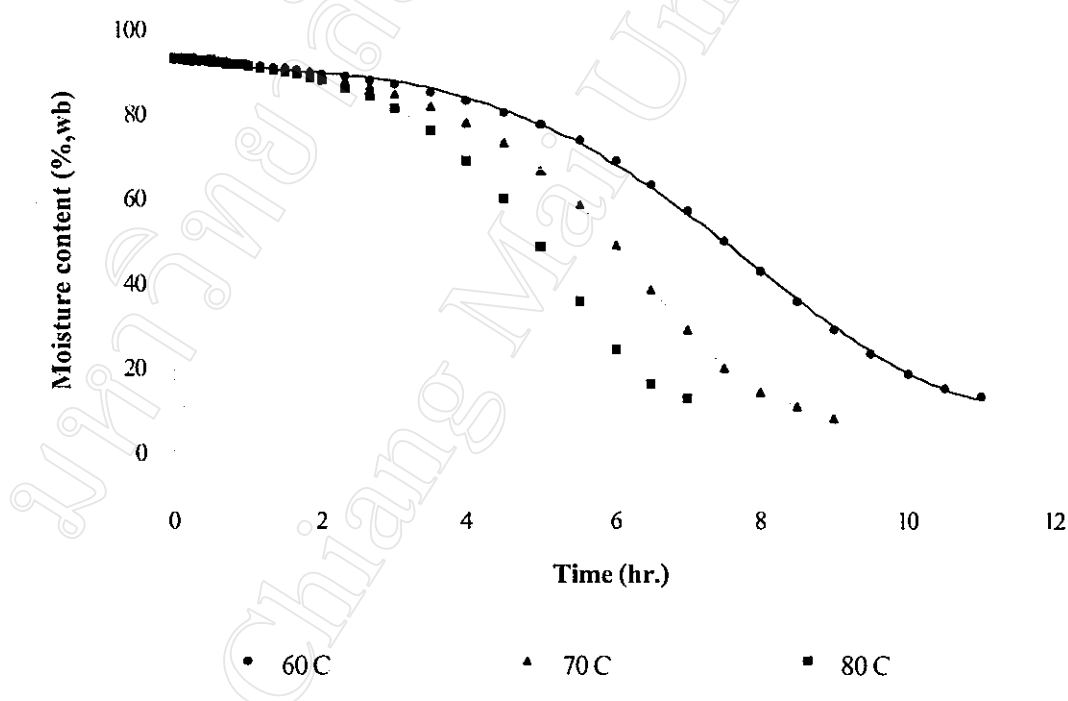
$$y = -1.1842x^2 + 0.0879x + 92.804 \quad (R^2 = 0.9880)$$

ที่อุณหภูมิ 80°C

$$y = -1.9787x^2 + 1.4053x + 92.282 \quad (R^2 = 0.9919)$$

โดยค่า x คือ เวลาที่ใช้ในการอบแห้ง (hr)

y คือ ค่าความชื้นมาตรฐานเปลี่ยน (%w.b.)



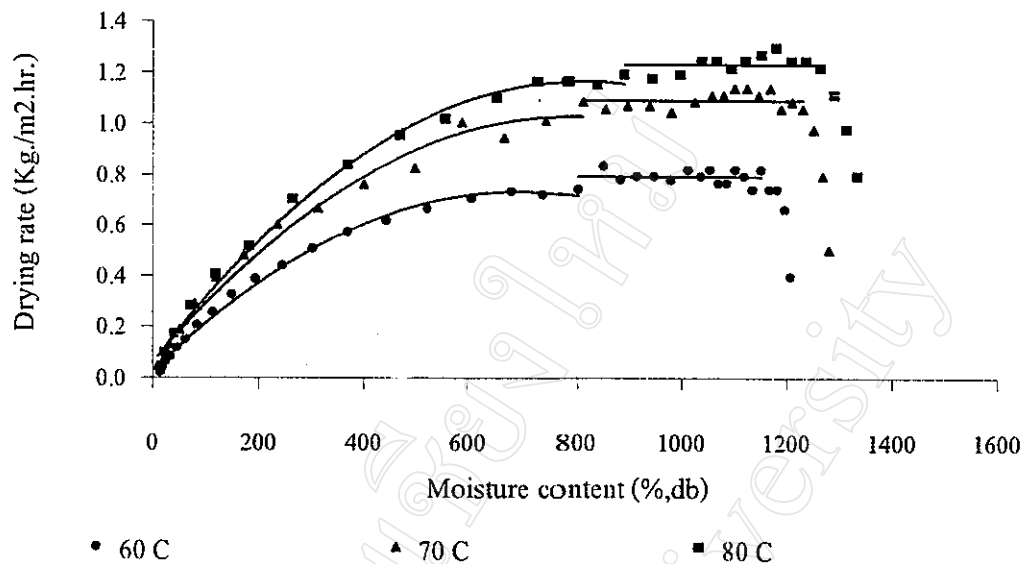
รูปที่ 4-2 กราฟแสดงความสัมพันธ์ระหว่างความชื้นมาตรฐานเปลี่ยนของห้องอบแห้ง และเวลา อบแห้ง เมื่อออบด้วยลมร้อนอุณหภูมิ 60°C , 70°C และ 80°C โดยใช้เครื่องอบแห้งไฟฟ้า ประเภทถุง

4.1.3 อัตราการลดความชื้น

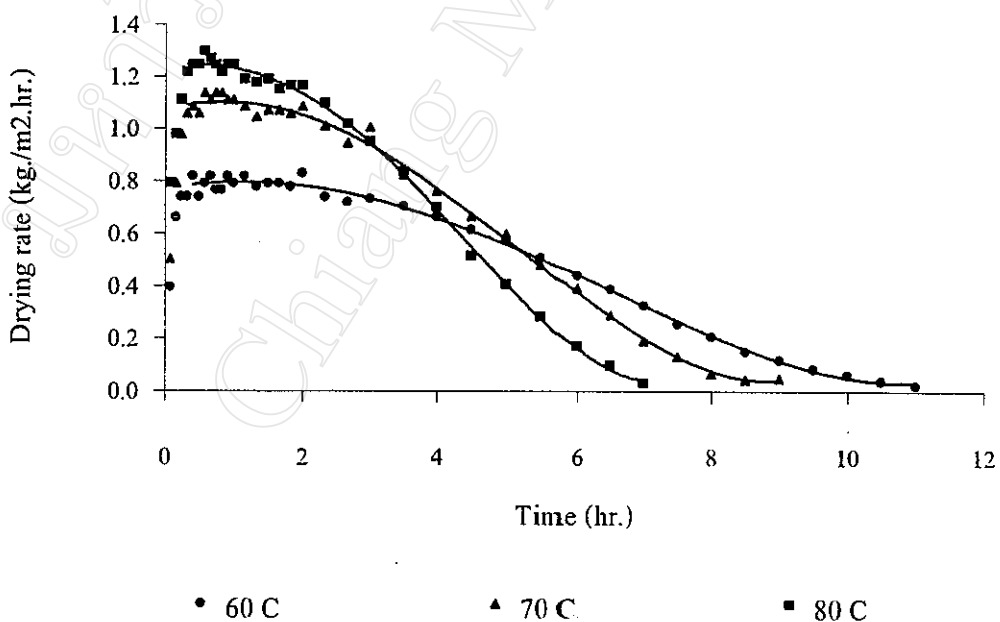
ช่วงแรกของการอบแห้งเป็นช่วงการให้ความร้อนเบื้องต้นแก่ตัวถุงดิบ ความร้อนที่ได้รับจากลมร้อนส่วนหนึ่งถูกแบ่งไปใช้ในการเพิ่มอุณหภูมิให้กับตัววัสดุดิบ และความร้อนอีกส่วนหนึ่งนำไปใช้ในการระเหยความชื้น ทำให้ประสิทธิภาพการระเหยความชื้นทำได้ไม่เต็มที่ปริมาณความชื้นที่ระเหยออกมากมีน้อยอัตราการอบแห้งจึงต่ำ จากการทดลองพบว่าระดับอุณหภูมิลมร้อนที่ใช้ในการอบแห้งมีอิทธิพลต่ออัตราการลดความชื้นอย่างมากตั้งแต่ชั่วโมงเริ่มต้นของการอบแห้ง โดยอัตราการลดความชื้นจะเพิ่มจาก $0.79 \text{ kg/m}^2.\text{hr}$ เป็น $1.11 \text{ kg/m}^2.\text{hr}$ ภายในเวลา 15 นาที เมื่อใช้อุณหภูมิ 80°C ถ้าใช้อุณหภูมิ 70°C อัตราการลดความชื้นจะเพิ่มจาก $0.50 \text{ kg/m}^2.\text{hr}$ เป็น $0.98 \text{ kg/m}^2.\text{hr}$ ในเวลา 15 นาที และที่อุณหภูมิ 60°C อัตราการลดความชื้นจะเพิ่มจาก $0.40 \text{ kg/m}^2.\text{hr}$ เป็น $0.74 \text{ kg/m}^2.\text{hr}$ ในเวลา 30 นาที (ตารางภาคผนวกที่ 1-3)

จนกระทั่งเมื่ออุณหภูมิที่ผิวน้ำของตัวถุงดิบเท่ากับอุณหภูมิกระแสเปลี่ยนของลมร้อน ห้องหัวใหญ่จะมีอัตราการลดความชื้นคงที่เป็นระยะเวลานั่น ช่วงนี้เป็นช่วงอัตราการอบแห้งคงที่ ซึ่งช่วงเวลานี้จะขึ้นกับอุณหภูมิที่ใช้ กล่าวคือถ้าเป็นที่อุณหภูมิ 80°C จะใช้เวลา 1 ชั่วโมง 15 นาที อัตราการลดความชื้นคงที่อยู่ในช่วง $1.23 \pm 0.035 \text{ kg/m}^2.\text{hr}$ การอบแห้งด้วยลมร้อน 70°C พบว่ามีอัตราการอบแห้งคงที่อยู่ในช่วง $11.09 \pm 0.032 \text{ kg/m}^2.\text{hr}$ เป็นเวลา 1 ชั่วโมง 45 นาที ส่วนการอบแห้งด้วยอุณหภูมิต่ำ 60°C พบว่าช่วงอัตราการอบแห้งคงที่นานานั้นที่สุดประมาณ 2 ชั่วโมง มีอัตราการอบแห้งอยู่ในช่วง $0.79 \pm 0.029 \text{ kg/m}^2.\text{hr}$ จากนั้นอัตราการลดความชื้นก็เข้าสู่ช่วงอัตราการอบแห้งลดลงจนกระทั่งสิ้นสุดการทดลอง (รูปที่ 4-3)

ที่ความเร็วลมเท่ากันระดับอุณหภูมิเป็นตัวบ่งชี้ความสามารถในการระเหยความชื้นของลมร้อนออกจากห้องหัวใหญ่ ลมร้อนอุณหภูมิสูงจะมีความสามารถในการลดความชื้นได้มากกว่าลมร้อนอุณหภูมิต่ำ ดังจะเห็นได้ว่าในช่วงแรกของการอบแห้งด้วยลมร้อนอุณหภูมิสูงอัตราการลดความชื้นจะสูงมากและลดลงอย่างรวดเร็วในช่วงหลังซึ่งเป็นช่วงอัตราการอบแห้งลดลง ทั้งนี้ เพราะในการระเหยความชื้นในช่วงแรกเกิดได้เร็วมาก จนทำให้ผิวน้ำของตัวอย่างแห้งก่อนความชื้นที่จะระเหยได้ในช่วงหลังจะต้องระเหยโดยอาศัยกระบวนการแพร่ซึ่งเกิดได้ช้ามาก แตกต่างกับการลดความชื้นด้วยลมร้อนอุณหภูมิต่ำซึ่งในช่วงแรกการลดความชื้นจะเกิดขึ้นน้อย ทำให้ผิวน้ำยังไม่แห้งมากนัก ส่งผลให้อัตราการลดความชื้นในช่วงหลังคงไม่ลดต่ำมาก แต่จะค่อยๆลดลงตามเวลา เมื่อนำมาอัตราการลดความชื้นมากหากความสัมพันธ์กับเวลาจะเห็นว่าเส้นกราฟการอบแห้งด้วยลมร้อนอุณหภูมิ 80°C ในช่วงอัตราการอบแห้งลดลงจะมีความชันของเส้นกราฟมากกว่าการอบแห้งด้วยลมร้อนอุณหภูมิ 70°C และ 60°C ตามลำดับ (รูปที่ 4-4)



รูปที่ 4-3 กราฟแสดงความสัมพันธ์ระหว่างอัตราการลดความชื้นของห้องหัวไผ่ และความชื้นมาตรฐานแห้ง เมื่ออบด้วยลมร้อนอุณหภูมิ 60°C 70°C และ 80°C โดยใช้เครื่องอบแห้งไฟฟ้า ประเภทตาก



รูปที่ 4-4 กราฟแสดงความสัมพันธ์ระหว่างอัตราการลดความชื้นของห้องหัวไผ่ และเวลาอบแห้ง เมื่ออบด้วยลมร้อนอุณหภูมิ 60°C 70°C และ 80°C โดยใช้เครื่องอบแห้งไฟฟ้า ประเภทตาก

จากรูปที่ 4-4 อัตราการลดความชื้นของการอบแห้งด้วยลมร้อน 80°C มีค่าลดลงใกล้เคียงกับอัตราการลดความชื้นของการอบแห้งด้วยลมร้อน 70°C ในชั่วโมงที่ 2 และมีค่าลดลงใกล้เคียงกับอัตราการลดความชื้นของการอบแห้งด้วยลมร้อน 60°C ในชั่วโมงที่ 4 ผลการทดลองนำไปสู่แนวทางความคิดในการอบแห้งหอนหัวใหญ่แบบลดอุณหภูมิลมร้อน โดยวางแผนการทดลองอบแห้งช่วง 2 ชั่วโมงแรกด้วยอุณหภูมิ 80°C จากนั้นลดอุณหภูมิเป็น 70°C อบเป็นเวลา 2 ชั่วโมง และในชั่วโมงที่ 4 ลดอุณหภูมิเป็น 60°C อบจนกระทั้งสิ้นสุดการทดลอง

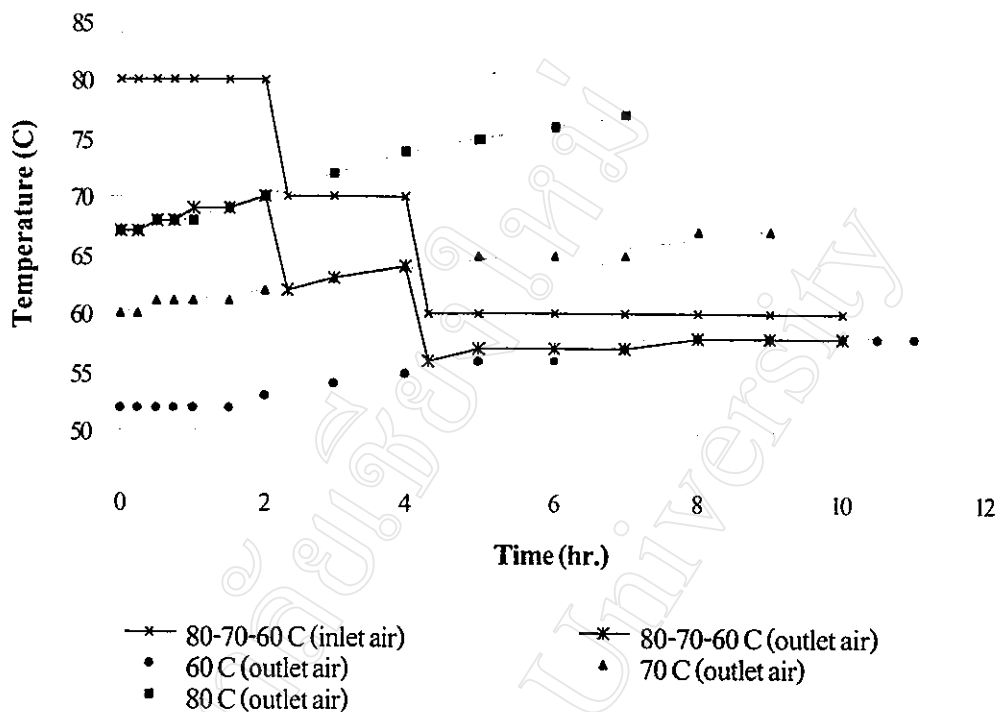
4.1.4 การอบแห้งด้วยวิธีการลดอุณหภูมิลมร้อน

4.1.4.1 อุณหภูมิขาออก

การลดอุณหภูมิลมร้อน เริ่มจากการใช้อุณหภูมิ 80°C ใน 2 ชั่วโมงแรก 70°C ใน 2 ชั่วโมงต่อไป และ 60°C อบต่อจนกระทั้งสิ้นสุดการทดลอง

ในช่วงแรกของการอบแห้งด้วยลมร้อนขาเข้า 80°C พบว่าอุณหภูมิขาออกค่อนข้างต่ำ เพิ่มขึ้นเหนืออุณหภูมิที่ตั้งไว้ 80°C (รูปที่ 4-5) ต่อเพิ่มจาก 67°C เป็น 70°C ในชั่วโมงที่ 2 จากนั้นทำการลดอุณหภูมิขาเข้าลงเหลือ 70°C พบว่าอุณหภูมิขาออกมีค่าลดลงมาเท่ากับระดับอุณหภูมิขาออกของการทดลองที่ใช้อุณหภูมิคงที่ 70°C คือมีอุณหภูมิขาออก 63°C และ 64°C ในชั่วโมงที่ 3 และ 4 ตามลำดับ ต่อมาหลังชั่วโมงที่ 4 ได้ลดอุณหภูมิขาเข้าลงอีกเป็น 60°C พบว่าอุณหภูมิขาออกก็ลดลงมาเท่ากับอุณหภูมิขาออกของการทดลองที่ใช้อุณหภูมิคงที่ 60°C โดยหลังจากลดอุณหภูมิขาเข้าลงแล้วพบว่าอุณหภูมิขาออกลดลงเหลือ 56°C และค่อนข้างต่ำกว่าอุณหภูมิคงที่ 58°C (ตารางภาคผนวกที่ 1-4)

จากผลการทดลองชี้ให้เห็นว่าการอบแห้งด้วยวิธีการลดอุณหภูมิไม่มีผลให้อุณหภูมิลมร้อนขาออกแตกต่างไปจากการอบแห้งด้วยลมร้อนอุณหภูมิคงที่ ระดับอุณหภูมิขาออกยังคงสอดคล้องกับระดับอุณหภูมิขาเข้า ณ ขณะเวลาอบแห้งนั้นๆ



รูปที่ 4-5 กราฟอุณหภูมิอากาศขาเข้า และอุณหภูมิอากาศขาออกในการอบแห้งห้องหัวไหง့ ด้วยลมร้อนอุณหภูมิ 60°C , 70°C , 80°C และการลดอุณหภูมิ โดยใช้เครื่องอบแห้งไฟฟ้า ประเภทดาด

4.1.4.2 การเปลี่ยนแปลงความชื้น

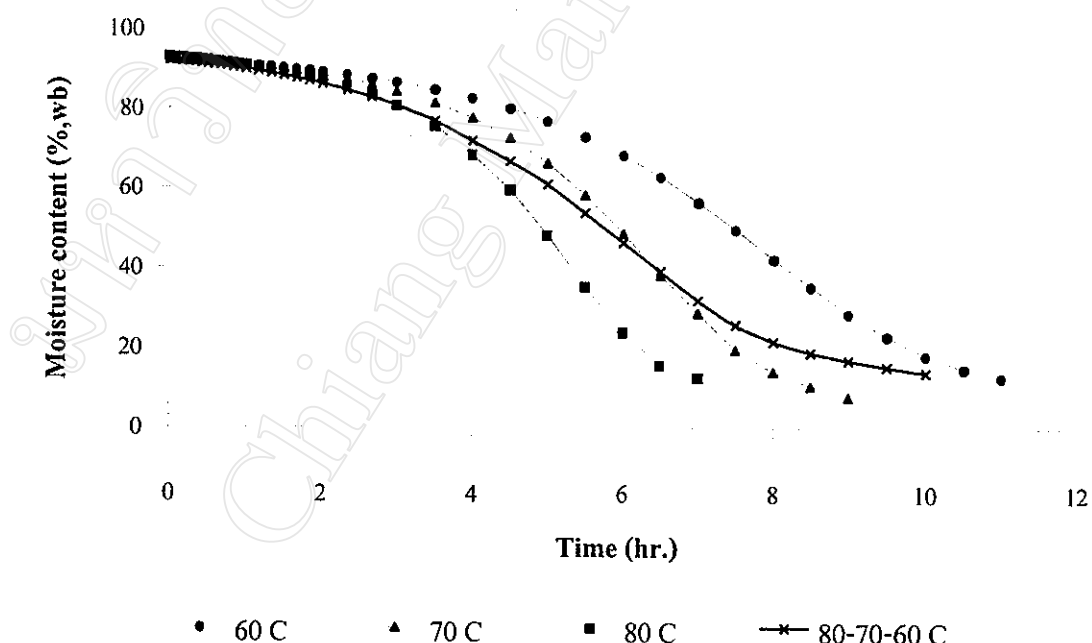
ห้องหัวไหง့มีความชื้นเริ่มต้นอยู่ในช่วง 92.03-92.38% ใน การทดลองอบแห้งแบบลดอุณหภูมิต้องใช้เวลา 11 ชั่วโมง 15 นาที เพื่อลดความชื้นให้เหลือประมาณ 12%(w.b.) ซึ่งใช้เวลาไม่แตกต่างกับการทดลองอบด้วยอุณหภูมิกึ่งที่ 60°C กราฟรูปที่ 4-6 เป็นการเปรียบเทียบการลดความชื้นของการทดลองอบแห้งด้วยอุณหภูมิกึ่งที่ 60°C , 70°C , 80°C และการอบแบบลดอุณหภูมิ พบร่วง 2 ชั่วโมงแรกที่อบด้วยอุณหภูมิกึ่ง 80°C ห้องหัวไหง့ทันทีมีเส้นกราฟการเปลี่ยนแปลงความชื้นคล้ายกับการทดลองอบด้วยอุณหภูมิกึ่งที่ 80°C เมื่อลดอุณหภูมิลงเป็น 70°C ในชั่วโมงที่ 3 และ 4 เส้นกราฟความชื้นเริ่มแยกตัวออกห่างจากเส้นกราฟการอบแห้งอุณหภูมิกึ่งที่ 80°C และเข้าใกล้เส้นกราฟการอบแห้งอุณหภูมิกึ่งที่ 70°C แสดงว่าเมื่อลดอุณหภูมิห้องอบลงอัตราการลดความชื้น ก็จะลดลง แต่อย่างไรก็ตามห้องหัวไหง့ที่อบแบบลดอุณหภูมิกึ่งคงมีความชื้นต่ำกว่าการอบด้วย อุณหภูมิกึ่งที่ 70°C และเมื่อลดอุณหภูมิลงอีกครั้งเป็น 60°C ปรากฏว่าเส้นกราฟความชื้นเริ่มเข้าใกล้เส้นกราฟการอบแห้งอุณหภูมิกึ่งที่ 70°C และตัดกันที่ประมาณชั่วโมงที่ 6 แสดงว่าทั้ง 2 การทดลอง

ห้อมหัวไหญ์มีความชื้นเท่ากัน และจากนั้นห้อมหัวไหญ์ที่อบด้วยอุณหภูมิคงที่ 70°C จะมีความชื้นลดต่ำลงมากกว่าการอบแบบลดอุณหภูมิ อย่างไรก็ตามก็ยังคงมีความชื้นต่ำกว่าการอบด้วยอุณหภูมิคงที่ 60°C จนกระทั่งอบเป็นเวลา 11 ชั่วโมง 15 นาที ความชื้นจะลดลงมาประมาณ 12%(w.b.) ซึ่งจะเห็นว่าเวลาที่ใช้ไม่ได้แตกต่างกับการทดลองอบด้วยอุณหภูมิคงที่ 60°C แม้ว่าในช่วงต้นการทดลองการอบแบบลดอุณหภูมิจะมีความชื้นลดต่ำกว่าการอบด้วยอุณหภูมิคงที่ 60°C แต่ในช่วงท้ายจะเห็นว่าการลดความชื้นทำได้ช้าลงเนื่องจากน้ำที่เหลืออยู่เป็นน้ำที่อยู่ภายในชิ้นห้อมหัวไหญ์จึงต้องใช้เวลามากกว่าที่จะเคลื่อนย้ายออกมายานอกได้ และช่วงเวลาหนึ่งที่ห้อมหัวไหญ์ที่อบด้วยอุณหภูมิคงที่ 60°C สามารถลดความชื้นลงมาได้ทันกับการอบแบบลดอุณหภูมิ

ความสัมพันธ์ระหว่างความชื้นและเวลาอบแห้ง เป็นไปตามสมการดังนี้

$$y = 0.007x^2 - 0.2141x + 1.3587 \quad (R^2 = 0.9651)$$

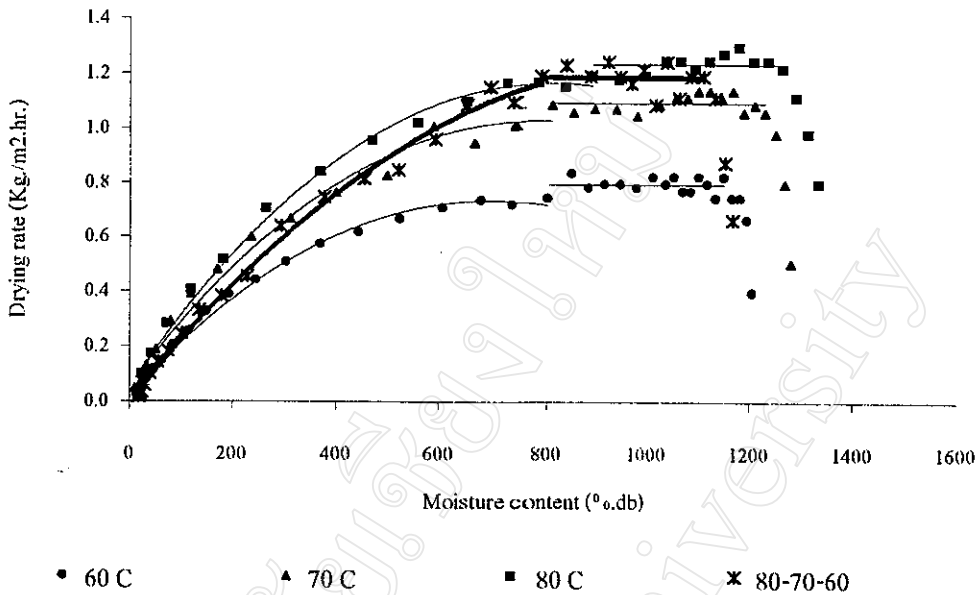
โดยค่า x คือ เวลาที่ใช้ในการอบแห้ง (hr)
 y คือ ค่าความชื้นมาตรฐานเปียก (%w.b.)



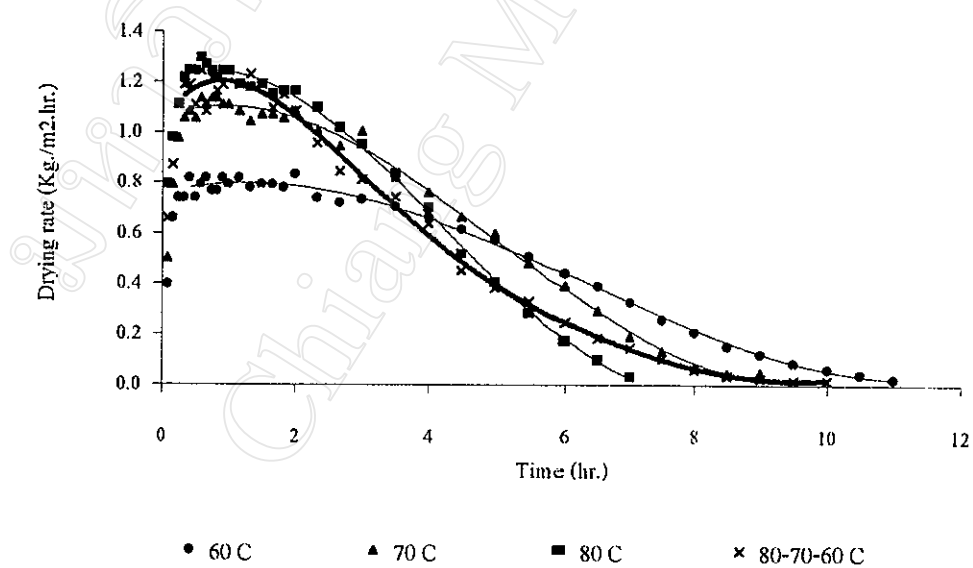
รูปที่ 4-6 กราฟแสดงความสัมพันธ์ระหว่างความชื้นมาตรฐานเปียกของห้อมหัวไหญ์ และเวลาอบแห้งเมื่ออบด้วยลมร้อนอุณหภูมิ 60°C 70°C 80°C และการอบแบบลดอุณหภูมิ โดยใช้เครื่องอบแห้งไฟฟ้า ประเภทถุง

4.1.4.3 อัตราการลดความชื้น

การอบแห้งห้องหัวไทรผู้แบบลดอุณหภูมิ ใน 2 ชั่วโมงแรกเป็นการอบแห้งด้วยลมร้อน 80°C ห้องหัวไทรผู้ใช้เวลาในการปรับอุณหภูมิ 15 นาที อัตราการอบแห้งเพิ่มขึ้นจาก $0.66 \text{ kg/m}^2.\text{hr}$ เป็น $1.11 \text{ kg/m}^2.\text{hr}$ (ตารางภาคผนวกที่ 1-5) จากนั้นจะเข้าสู่ช่วงอัตราการอบแห้งคงที่ (constant rate period) มีอัตราการอบแห้งคงที่อยู่ในช่วง $1.19 \pm 0.049 \text{ kg/m}^2.\text{hr}$ เป็นเวลา 11 ชั่วโมง 15 นาที พฤติกรรมเช่นนี้เหมือนกับที่พบในการทดลองอบด้วยอุณหภูมิกองที่ 80°C จากนั้นห้องหัวไทรผู้ มีอัตราการลดความชื้นเข้าสู่ช่วงอัตราการอบแห้งลดลง อัตราการลดความชื้นจะลดลงเรื่อยๆ (รูปที่ 4-7) เมื่ออุณหภูมิลงเป็น 70°C ในช่วงชั่วโมงที่ 2-4 พบว่าอัตราการลดความชื้นของห้องหัวไทรผู้ มีค่าลดลงมาใกล้เคียงกับการอบแห้งด้วยอุณหภูมิกองที่ 70°C และลดลงเรื่อยๆ เมื่อเวลา 3 ชั่วโมง 30 นาที อัตราการลดความชื้นได้ลดลงมาเท่ากับการอบด้วยอุณหภูมิกองที่ 60°C หลังชั่วโมงที่ 4 ลดอุณหภูมิลงเป็น 60°C อัตราการลดความชื้นยังคงลดลงเรื่อยๆ (รูปที่ 4-8) ทั้งนี้เนื่องจากการ อบแห้งแบบลดอุณหภูมิในช่วงแรกอบแห้งด้วยอุณหภูมิ 80°C ห้องหัวไทรผู้ได้สูญเสียความชื้นที่อยู่ ภายนอกไปอย่างรวดเร็ว ทำให้ในช่วงหลังห้องหัวไทรผู้หันมีความชื้นเหลืออยู่น้อยลงเป็นความชื้นที่ อยู่ภายในห้องหัวไทรผู้ การดึงความชื้นออกกระทำได้ยาก ต้องใช้เวลานาน ขณะเดียวกันที่การอบ ด้วยอุณหภูมิกองที่ 60°C ยังคงมีอัตราการอบแห้งสูงกว่า สามารถลดความชื้นลงมาได้ทัน แต่เมื่อถึง ช่วงท้ายของการอบแห้งที่มีปริมาณความชื้นเหลืออยู่น้อย จะเห็นว่าอัตราการลดความชื้นทุก การทดลองมีค่าใกล้เคียงกัน ดังนั้นการลดความชื้นแบบลดอุณหภูมิจะมีประโยชน์ในการร่นเวลาการ อบแห้งเฉพาะกรณีการอบแห้งที่ไม่ต้องการผลิตภัณฑ์ที่มีความชื้นต่ำมาก แต่สำหรับการอบแห้งที่ ต้องการผลิตภัณฑ์ความชื้นต่ำการลดความชื้นแบบลดอุณหภูมิจะไม่ช่วยร่นเวลาอบแห้งได้ ซึ่ง ผลการทดลองนี้สอดคล้องกับ Lewicki et al.(1998) ที่ได้ทดลองอบห้องหัวไทรผู้แบบแผ่น โดยการ ลดอุณหภูมิ และพบว่าใช้เวลาในการอบนานกว่าการอบที่อุณหภูมิกองที่ 60°C



รูปที่ 4-7 กราฟแสดงความสัมพันธ์ระหว่างอัตราการลดความชื้นของหอยไหง့ และความชื้นมาตรฐานแห้ง เมื่อบดด้วยเครื่องอบแห้งอุณหภูมิ 60°C , 70°C , 80°C และการอบแบบลดอุณหภูมิ โดยใช้เครื่องอบแห้งไฟฟ้าประเภทถ่าน



รูปที่ 4-8 กราฟแสดงความสัมพันธ์ระหว่างอัตราการลดความชื้นของหอยไหง့ ทัน และเวลาอบแห้ง เมื่อบดด้วยเครื่องอบแห้งอุณหภูมิ 60°C , 70°C , 80°C และการอบแบบลดอุณหภูมิ โดยใช้เครื่องอบแห้งไฟฟ้าประเภทถ่าน

4.1.5 การวิเคราะห์สมบัติทางกายภาพ

สมบัติทางกายภาพที่ศึกษาคือ สีของหอยหัวใหญ่หลังการอบแห้งวัดด้วยเครื่องวัดสี แสดงผลเป็นค่า L, a และ b และ ค่า Water activity (A_w)

4.1.5.1 ค่าสีหอยหัวใหญ่หลังอบแห้ง

การอบแห้งด้วยลมร้อนที่มีอุณหภูมิแตกต่างกันมีผลให้สีของหอยหัวใหญ่ย่ำบاهห้องแห้งแตกต่างกัน จากการสังเกตด้วยตาพบว่าการอบแห้งด้วยอุณหภูมิสูงมีผลให้หอยหัวใหญ่มีสีเข้มกว่าการอบแห้งด้วยอุณหภูมิต่ำ ซึ่งสัมพันธ์กับผลการวิเคราะห์ค่าสีพบว่าการอบแห้งด้วยลมร้อนอุณหภูมิ 80°C หอยหัวใหญ่ที่ได้มีค่า L (ค่าความสว่างของสี) แตกต่างอย่างมีนัยสำคัญทางสถิติ ($P<0.05$) กับการอบแห้งด้วยลมร้อนอุณหภูมิ 60°C และ 70°C โดยการอบแห้งด้วยลมร้อน 80°C มีค่า L คือ 62.80 ซึ่งมีค่าต่ำกว่าการอบแห้งด้วยลมร้อน 60°C และ 70°C ซึ่งมีค่า L คือ 67.00 และ 67.02 ตามลำดับ แสดงว่าผลิตภัณฑ์หอยหัวใหญ่ที่อบด้วยอุณหภูมิ 80°C มีความสว่างน้อยกว่าผลิตภัณฑ์หอยหัวใหญ่ที่อบด้วยลมร้อน 60°C และ 70°C ส่วนหอยหัวใหญ่ที่อบด้วยวิธีการลดอุณหภูมิพบว่ามีความสว่างมากกว่าการอบที่อุณหภูมิ 80°C แต่มีสีเข้มกว่าการอบที่อุณหภูมิ 70°C และ 60°C โดยมีค่า L คือ 65.30

จากการสังเกตด้วยตาพบว่าหอยหัวใหญ่ย่ำบاهห้องแห้งในทางการค้ามีสีเข้มกว่าเดิมกับสีของหอยหัวใหญ่ที่ใช้ลมร้อนอุณหภูมิ 80°C และจากผลการวิเคราะห์ค่าสีพบว่าไม่มีความแตกต่างอย่างมีนัยสำคัญทางสถิติ ($P\geq0.05$) ระหว่างหอยหัวใหญ่ย่ำบاهห้องแห้งทางการค้าและหอยหัวใหญ่ย่ำบاهห้องแห้งที่ใช้ลมร้อนอุณหภูมิ 80°C หอยหัวใหญ่ย่ำบاهห้องแห้งในทางการค้ามีค่า L คือ 62.37 ส่วนหอยหัวใหญ่ย่ำบاهห้องแห้งด้วยลมร้อนอุณหภูมิ 80°C มีค่า L คือ 62.80 (ตารางที่ 4-1)

ค่า a เป็นตัวแทนของสีแดง จากการวิเคราะห์ทางสถิติพบว่าการอบแห้งทุกวิธีได้ผลิตภัณฑ์หอยหัวใหญ่ที่มีค่า a ต่ำกว่าผลิตภัณฑ์หอยหัวใหญ่ย่ำบاهห้องแห้งในทางการค้า ซึ่งมีค่า a สูงมากคือ 5.15 การอบแห้งที่ใช้อุณหภูมิ 80°C ได้หอยหัวใหญ่ที่มีค่า a คือ 2.26 ซึ่งมีค่า a สูงกว่าหอยหัวใหญ่ที่อบแห้งด้วยลมร้อนอุณหภูมิที่ต่ำกว่า คือการอบแห้งด้วยลมร้อนอุณหภูมิ 60°C , 70°C และการอบแบบลดอุณหภูมิ ซึ่งการอบทั้ง 3 แบบนี้ได้หอยหัวใหญ่ที่น้ำย่นอบแห้งที่มีค่า a ไม่แตกต่างกันอย่างมีนัยสำคัญทางสถิติ ($P\geq0.05$) โดยมีค่า a คือ 0.78 , 0.44 และ 0.77 ตามลำดับ

ส่วน ค่า b เป็นตัวแทนของสีเหลือง จากการวิเคราะห์ทางสถิติพบว่าหอยหัวใหญ่ที่อบด้วยลมร้อนอุณหภูมิ 80°C มีค่า b ไม่แตกต่างอย่างมีนัยสำคัญทางสถิติ ($P\geq0.05$) กับหอยหัวใหญ่ย่ำบاهห้องแห้งในทางการค้า โดยมีค่า b คือ 17.83 และ 17.63 ตามลำดับ การอบแห้งหอยหัวใหญ่ด้วยลมร้อนอุณหภูมิ 60°C และ 70°C ได้หอยหัวใหญ่ที่มีค่า b คือ 16.31 และ 16.29 ซึ่งแตกต่างอย่างมีนัยสำคัญ

ทางสถิติ ($P<0.05$) กับหอนหัวใหญ่ที่อบแห้งด้วยลมร้อนอุณหภูมิ 80°C และหอนหัวใหญ่อบแห้งในทางการค้า ส่วนหอนหัวใหญ่ที่อบแห้งด้วยวิธีการลดอุณหภูมิมีค่า b คือ 17.00

สรุปผลการวิเคราะห์ค่าสีพบว่าการอบแห้งด้วยอุณหภูมิกองที่ 60°C และ 70°C ได้ผลิตภัณฑ์ที่มีค่าสีที่ไม่มีความแตกต่างกันอย่างมีนัยสำคัญทางสถิติ ($P\geq0.05$) โดยมีค่า L , a และ b ไม่แตกต่างกัน แต่มีความแตกต่างอย่างมีนัยสำคัญทางสถิติ ($P<0.05$) กับการอบแห้งด้วยอุณหภูมิกองที่ 80°C และการอบแบบลดอุณหภูมิ ซึ่งการอบด้วยอุณหภูมิกองที่ 80°C ได้ค่าสีที่ใกล้เคียงกับผลิตภัณฑ์ทางการค้ามากที่สุด โดยมีค่า L และ a ไม่แตกต่างกันอย่างมีนัยสำคัญทางสถิติ ($P\geq0.05$) ส่วนค่า a นั้นนับได้ว่าการอบแห้งด้วยอุณหภูมิกองที่ 80°C เป็นวิธีที่ทำให้ได้ค่า a ใกล้เคียงกับผลิตภัณฑ์ทางการค้ามากที่สุด

ตารางที่ 4-1 การวิเคราะห์ค่าการวัดสี (ค่า L , a และ b) ของหอนหัวใหญ่อบแห้ง ที่ชั้นความหนา 1 cm ด้วยเครื่องอบแห้งไฟฟ้า ประเภทพาด

Temperature ($^{\circ}\text{C}$)	color		
	L	a	b
60	67.00 ± 0.84 c	0.78 ± 0.25 a	16.31 ± 0.22 a
70	67.02 ± 0.31 c	0.44 ± 0.17 a	16.29 ± 0.59 a
80	62.80 ± 0.75 a	2.26 ± 0.59 b	17.83 ± 0.41 b
80-70-60	65.30 ± 0.92 b	0.77 ± 0.19 a	17.00 ± 0.85 ab
commercial	62.37 ± 0.62 a	5.15 ± 0.32 c	17.63 ± 0.20 b

หมายเหตุ : ตัวเลขในแนวนี้ที่ตามด้วยอักษรที่เหมือนกัน ไม่มีความแตกต่างกันทางสถิติที่ระดับความเชื่อมั่น 95%

4.1.5.2 ค่า Water activity (Aw)

ผลการตรวจวัดค่า Aw ทั้ง 4 การทดลอง คือการอบแห้งด้วยลมร้อนอุณหภูมิกองที่ 60°C , 70°C , 80°C และวิธีลดอุณหภูมิลมร้อน พบร่วมกับการทดสอบมีค่า Aw ที่ไม่มีความแตกต่างอย่างมีนัยสำคัญทางสถิติ ($P\geq0.05$) กับหอนหัวใหญ่อบแห้งทางการค้า (ตารางที่ 4-2) ผลิตภัณฑ์หอนหัวใหญ่อบแห้งมีค่า Aw ที่ต่างกันอยู่ในช่วง $0.43 - 0.52$ โดยอ้างอิงจากงานของจุลินทรีย์เจริญเป็นไปได้ยากขึ้น ซึ่งไฟโรงน์ (2539) กล่าวว่าการที่ค่า Aw ต่ำนี้สามารถยับยั้งการเจริญของจุลินทรีย์ได้ยกเว้นจุลินทรีย์ที่ทนแล้งสามารถที่จะเจริญได้

ตารางที่ 4-2 การวิเคราะห์ค่าความชื้นมาตรฐานเปียก และค่า Aw ของหัวไก่อบแห้ง ที่ชั้นความหนา 1 cm ด้วยเครื่องอบแห้งไฟฟ้า ประเภทภาค

Temperature (°C)	Moisture content (%, wb)	Aw
60	12.73 ± 1.94 ns	0.51 ± 0.05 ns
70	10.51 ± 3.34 ns	0.43 ± 0.11 ns
80	12.73 ± 1.94 ns	0.51 ± 0.50 ns
80-70-60	13.83 ± 3.60 ns	0.52 ± 0.01 ns
commercial	12.33 ± 0.47 ns	0.50 ± 0.01 ns

หมายเหตุ : ตัวเลขในแนวตั้งที่ค่าน้ำด้วยอักษรที่เหมือนกัน ไม่มีความแตกต่างกันทางสถิติที่ระดับความเชื่อมั่น 95%

จากการศึกษาเบื้องต้นด้วยเครื่องอบแห้งไฟฟ้าประเภทภาคพบว่าการอบแห้งด้วยลมร้อน อุณหภูมิคงที่ 80°C น่าจะเป็นวิธีการที่เหมาะสมที่สุดเนื่องจากใช้ระยะเวลาการอบแห้งสั้นที่สุด และจากการวิเคราะห์คุณภาพทางค้านกายภาพก็ชี้ให้เห็นว่าการอบด้วยลมร้อน 80°C จะได้ผลิตภัณฑ์ห้อนหัวไก่ที่มีลักษณะใกล้เคียงกับผลิตภัณฑ์ทางการค้ามากที่สุด โดยมีค่าสีใกล้เคียงกับมาตรฐานที่โรงงานระบุมากที่สุด แต่ทั้งนี้ยังไม่อาจสรุปได้ว่าการอบแห้งด้วยลมร้อนอุณหภูมิคงที่ 80°C จะเหมาะสมสำหรับการอบแห้งด้วยเครื่องอบแห้งแบบสลับทิศทางลมร้อน ดังนั้นจึงต้องทำการทดลองอบแห้งด้วยเครื่องอบแห้งแบบสลับทิศทางลมร้อนต่อไป

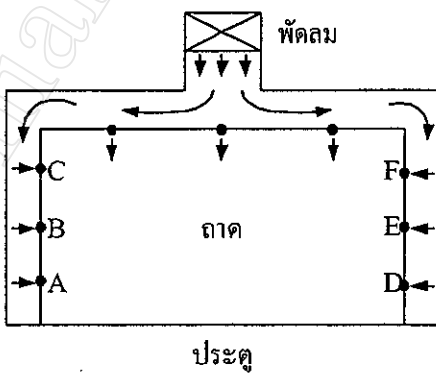
สำหรับการอบแห้งแบบลดอุณหภูมิลมร้อนต้องใช้เวลาในการอบแห้งนานกว่าการอบแห้งด้วยลมร้อนอุณหภูมิคงที่ 80°C ถึง 3 ชั่วโมง และคุณภาพที่ได้ก็ไม่ได้ตามที่โรงงานต้องการ ทั้งนี้อาจเนื่องมาจากการเลือกช่วงเวลาในการลดอุณหภูมิแต่ละขั้นยังไม่เหมาะสม

4.2 ศึกษาการลดความชื้นด้วยเครื่องอบแห้งแบบสลับพิเศษทางลมร้อน (Alternate hot air dryer) ชนิดติดใช้แก๊สเป็นแหล่งพลังงานความร้อน

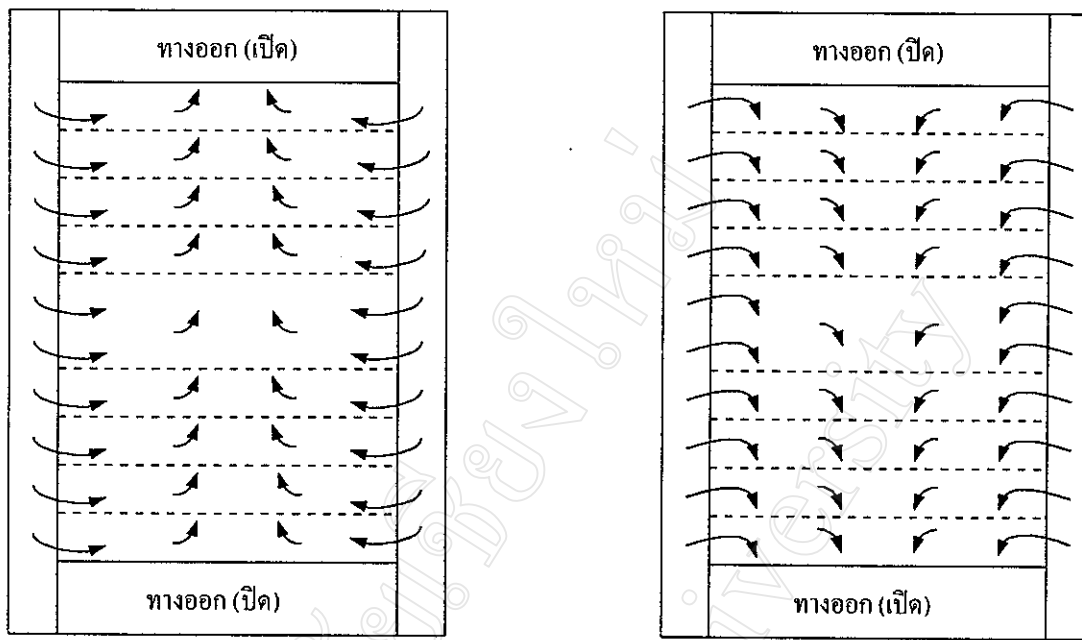
ศึกษาการลดความชื้นห้องอบหัวไชยู่ด้วยเครื่องอบแห้งแบบติดชนิดสลับพิเศษทางลมร้อน ทดสอบ 2 ปัจจัย 3 ระดับ ปัจจัยแรกคือชั้นความหนาของวัสดุคือ 1 1.25 และ 1.5 cm ซึ่งมีปริมาณการบรรจุ (loading density) 5.67 7.09 และ 8.50 kg/m^2 อบแห้งด้วยลมร้อนที่มีแก๊สเป็นแหล่งให้พลังงานความร้อน ปัจจัยที่ 2 คืออุณหภูมิลมร้อน 60°C 70°C และ 80°C ลมร้อนมีความเร็วลมโดยเฉลี่ย 0.46 m/s

4.2.1 การกระจายลมในห้องอบแห้ง

ทดสอบความสม่ำเสมอของการกระจายลม ด้วยการวัดความเร็วลมแต่ละชั้นของที่ไม่มีวัสดุคืออยู่ กำหนดจุดวัดความเร็วลมแบ่งเป็นด้านซ้ายมือ และขวา มือของผู้ทดลอง ด้านซ้ายมือ ประกอบด้วยจุดวัด 3 จุดคือ จุด A B และ C ด้านขวา มือประกอบด้วยจุดวัด 3 จุดเช่นกันคือจุด D E และ F จุดวัด A และ D เป็นตำแหน่งที่อยู่ใกล้ประตู ด้านขวา B และ E อยู่ในตำแหน่งตรงกลางของริมถาดทั้ง 2 ด้าน ตำแหน่ง C และ F เป็นตำแหน่งที่อยู่ด้านในสุดติดกับผนังด้านหลังของตู้ (รูปที่ 4-9 ก) การทดลองกระทำ 2 รูปแบบ รูปแบบแรกกำหนดให้อากาศขาออกไอลอ廓ทางด้านบน เรียกว่า “ลมขึ้น” (รูปที่ 4-9 ข) รูปแบบที่ 2 กำหนดให้อากาศขาออกไอลอ廓ทางด้านล่าง เรียกว่า “ลมลง” (รูปที่ 4-9 ค)



(ก) Top view



(a) Front view เมื่อลมขาออกมีทิศขึ้น

(b) Front view เมื่อลมขาออกมีทิศลง

รูปที่ 4-9 ตำแหน่งการวัดการกระจายลม (ก) และทิศทางการไหลของลมในตู้อบแห้ง (ข, ค)

4.2.1.1 เมื่อลมขาออกมีทิศขึ้น (ลมขึ้น)

การกระจายลมภายในห้องอบไม่ค่อยดีนัก จากตารางที่ 4-3 จะเห็นว่าค่าเฉลี่ยความเร็วลมด้านซ้ายมีค่า 0.56 m/s ซึ่งมากกว่าด้านขวา (0.37 m/s) เนื่องจากลมขาเข้าที่แบ่งไปด้านซ้ายและขวาไม่เท่ากัน เมื่อพิจารณาการกระจายลมในแต่ละชั้นพบว่าชั้นที่อยู่ในโซนกลาง คือ ชั้นที่ 3, 4, 5 และ 6 มีการกระจายค่อนข้างสม่ำเสมอ ดังจะเห็นว่าความเร็วลมทั้ง 6 จุด คือ จุด A, B, C, D, E และ F แตกต่างกันเพียงเล็กน้อย ชั้นที่ค่อนข้างมีปัญหาคือ ชั้นที่อยู่ห่างออกไปจากช่องลมเข้าคือ ชั้นที่ 1, 2, 7 และ 8 เนื่องจากตำแหน่งช่องลมเข้าอยู่กลางตู้อบ มีผลให้ความเร็วลมด้านใน คือตำแหน่ง C และ F มีค่าต่ำประมาณ 0.1 m/s . ซึ่งจะส่งผลให้วัตถุคิดที่อยู่ด้านในแห้งช้ากว่าจุดอื่นๆ

4.2.1.2 เมื่อลมขาออกมีทิศลง (ลมลง)

จากการทดลองพบว่าทิศทางลมขาออกไม่ค่อยมีผลต่อการเปลี่ยนแปลงความเร็วลมในตู้อบ ความเร็วลมในแต่ละจุดยังคงมีค่าใกล้เคียงกับความเร็วลมกรณีลมขึ้น ดังตารางที่ 4-4 จะเห็นว่า ความเร็วลมขาออกเฉลี่ยเมื่อลมมีทิศลงมีค่า 0.45 m/s เมื่อเปลี่ยนทิศทางลมเป็นลมขึ้นพบว่าความเร็วลมขาออกเฉลี่ยมีค่าใกล้เคียงกันคือ 0.46 m/s (ตารางที่ 4-3)

การกระจายลมภายในตู้อบเมื่อลมขาออกมีทิศทางมีลักษณะคล้ายกับการกระจายลมในตู้อบ เมื่อลมขาออกมีทิศที่นี้ โดยการแบ่งลมไปทางด้านซ้ายและขวาช่วงคงไม่เท่ากันการกระจายลมลักษณะนี้มีผลให้วัสดุติดดินด้านซ้ายแห้งก่อนด้านขวา นอกจานนี้ยังพบว่าชั้นที่ 1, 2, 7 และ 8 ตำแหน่งบริเวณด้านในคือชุด C และ F ยังคงมีความเร็วลมต่ำกว่าค่าประมาณ 0.1 m/s .

ตารางที่ 4-3 ค่าความเร็วลมในแต่ละชั้นเมื่อลมขาออกมีทิศ吹

ตารางที่ 4-4 ค่าความเร็วลมในแต่ละชั้นเมื่อลมจาก omnithruster

ชั้น	ความเร็วเฉลี่ย (m/s)							
	ผนังคู่ด้านซ้าย				ผนังคู่ด้านขวา			
	A	B	C	D	E	F	G	H
1	0.5	0.5	0.1	0.37	0.2	0.2	0.1	0.17
2	1.0	0.7	0.1	0.60	0.4	0.2	0.1	0.23
3	0.5	0.7	0.5	0.57	0.4	0.5	0.2	0.37
4	0.6	0.7	0.7	0.67	0.5	0.5	0.3	0.43
ช่องว่าง	0.7	0.7	0.8	0.73	0.3	0.6	0.2	0.37
5	0.6	0.7	0.6	0.63	0.5	0.6	0.2	0.43
6	0.5	0.8	0.5	0.60	0.5	0.4	0.2	0.37
7	0.5	0.7	0.1	0.43	0.5	0.5	0.1	0.37
8	0.5	0.5	0.1	0.37	0.6	0.5	0.1	0.40
เฉลี่ย	0.60	0.67	0.39	0.55	0.43	0.44	0.17	0.35
เฉลี่ยรวมคง				0.45				

4.2.2 อุณหภูมิลมร้อนขาออก

ในช่วงแรกของการอบแห้งระดับอุณหภูมิลมร้อนที่ออกมาจากห้องอบแห้งมีค่าลดต่ำลงจากระดับอุณหภูมิลมร้อนขาเข้ามาก การอบแห้งห้องอบแห้งมีหัวไหญ์ระดับชั้นความหนา 1 cm ด้วยลมร้อนขาเข้า 60°C 70°C และ 80°C อุณหภูมิขาออกมีค่าลดลงเหลือ 42.5°C 45.5°C และ 52.5°C ตามลำดับ (ตารางภาคผนวกที่ 1-6) ทั้งนี้เนื่องจากในช่วงแรกวัตถุดินยังมีอุณหภูมิปกติ (อุณหภูมิห้อง) จึงต้องใช้ความร้อนสูงในการเพิ่มอุณหภูมิให้กับวัตถุดิน อีกทั้งปริมาณความชื้นในห้องอบมีอยู่มากทำให้ลมร้อนขาออกมีความชื้นสูงและเย็นลงอย่างรวดเร็ว อุณหภูมิขาออกจึงลดลงจากแรกเข้ามากลักษณะเช่นนี้คล้ายกับพฤติกรรมที่พบในการอบแห้งด้วยเครื่องอบแห้งไฟฟ้า

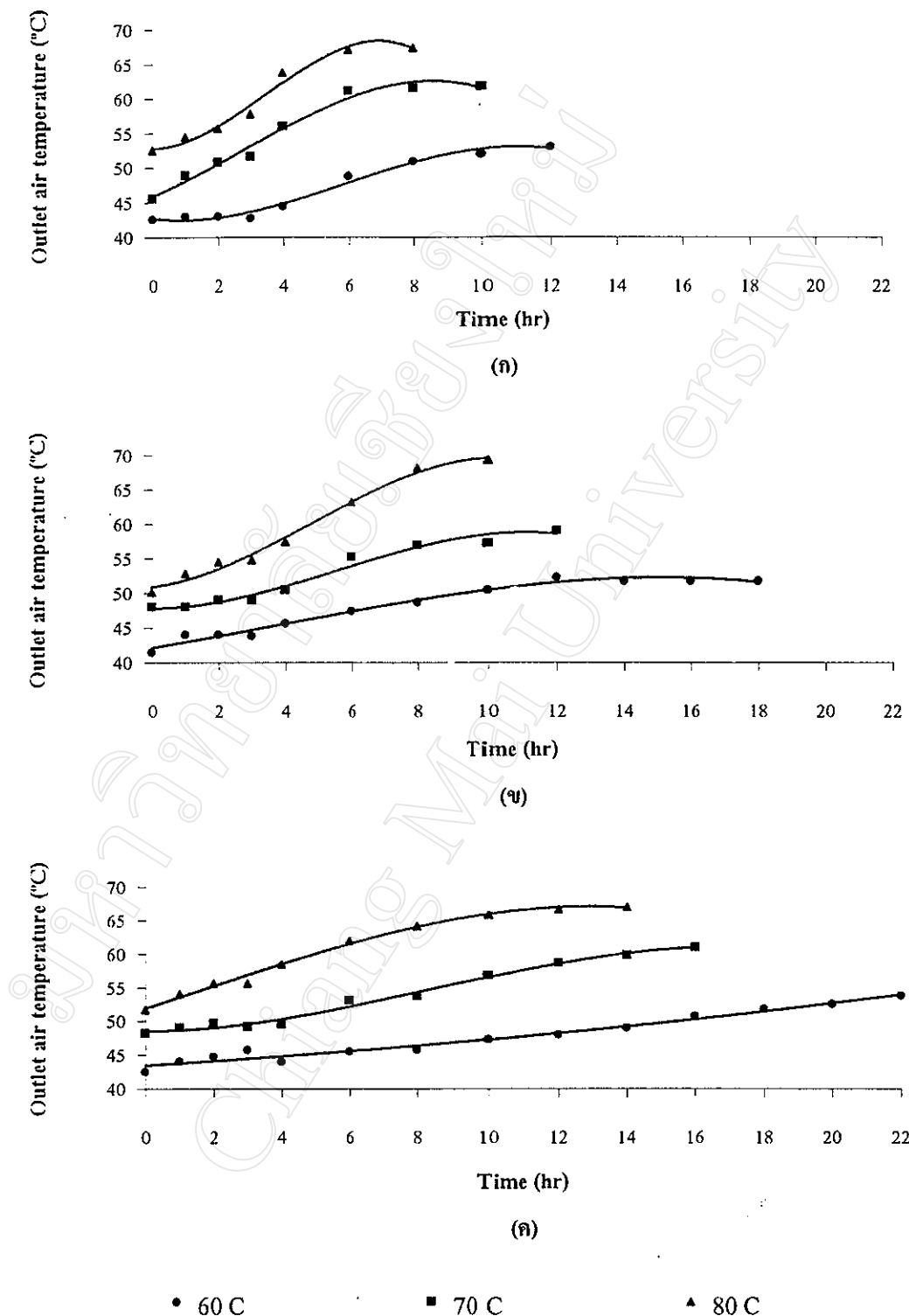
เมื่อกระบวนการอบแห้งดำเนินไปเรื่อยๆ ความแตกต่างของอุณหภูมิลมร้อนขาออกกับอุณหภูมิลมร้อนแรกเข้าลดน้อยลงตามระยะเวลาการอบแห้ง อุณหภูมิลมร้อนจะสูงขึ้น ดังกราฟรูปที่ 4-10 และ 4-11 จะเห็นว่าเมื่อเวลาผ่านไปอุณหภูมิขาออกจะเพิ่มขึ้น เส้นกราฟมีลักษณะเฉียงขึ้น ทั้งนี้เนื่องจากยิ่งอบนานขึ้นปริมาณความชื้นของห้องอบแห้งมีหัวไหญ์ยิ่งลดลงส่งผลให้ความชื้นที่ถ่ายเทอกลางสู่อากาศมีน้อยลง ลมร้อนขาออกจึงมีอุณหภูมิสูงขึ้น

การอบแห้งด้วยลมร้อนอุณหภูมิแตกต่างกันมีผลให้อุณหภูมิลมร้อนขาออกแตกต่างกัน ตั้งแต่นาทีแรกของการอบแห้งจนกระทั่งช่วงไม่สุดท้าย โดยที่ระดับความหนาเดียวกันการอบแห้งด้วยลมร้อนอุณหภูมิสูง 80°C ลมร้อนขาออกจะมีอุณหภูมิสูงที่สุดเมื่อเบริบเทียบกับการอบแห้งด้วยลมร้อน 70°C และ 60°C พิจารณากราฟรูปที่ 4-10 จะเห็นว่าเส้นกราฟอุณหภูมิลมร้อนขาออกของการอบแห้งด้วยลมร้อน 80°C จะอยู่เหนือเส้นกราฟเส้นอื่นๆ และเส้นกราฟที่อยู่ด้านมาศิ่งเส้นกราฟอุณหภูมิลมร้อนขาออกของการอบแห้งด้วยลมร้อน 70°C ส่วนการอบแห้งด้วยลมร้อนที่มีอุณหภูมิต่ำ 60°C เส้นกราฟจะอยู่ใต้เส้นกราฟเส้นอื่นๆ เช่นๆ

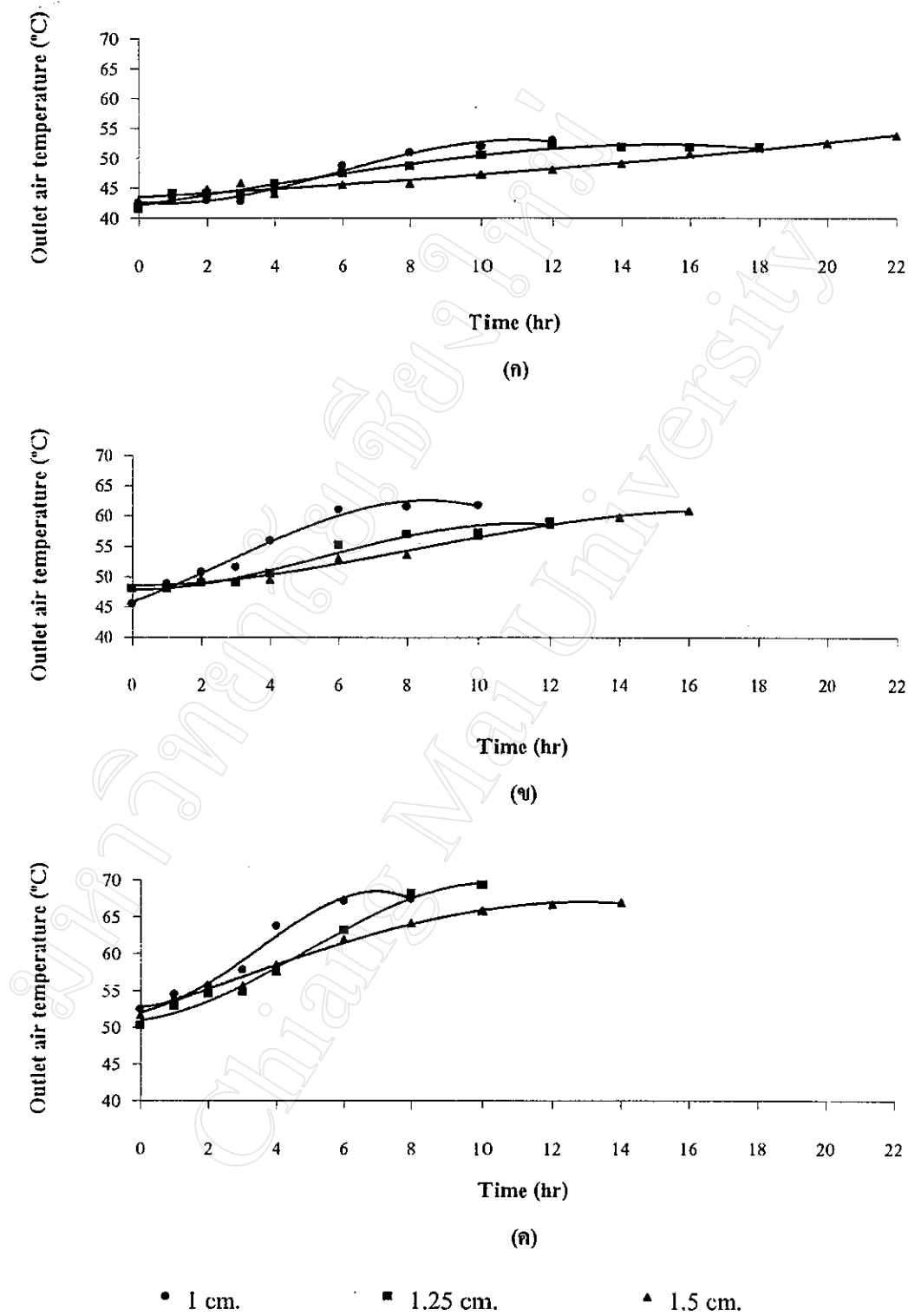
นอกจากนี้ยังพบอีกว่าอัตราการเพิ่มขึ้นของอุณหภูมิลมร้อนขาออกที่แตกต่างกันอีกด้วย พิจารณาได้จากความชันของเส้นกราฟของการอบแห้งด้วยลมร้อน 80°C มีความชันมากกว่าเส้นกราฟการอบแห้งด้วยลมร้อน 70°C และ 60°C ตามลำดับ แสดงว่า การอบแห้งด้วยลมร้อนอุณหภูมิสูงสามารถลดความชื้นของวัตถุดินได้เร็วกว่าลมร้อนอุณหภูมิต่ำดังจะเห็นว่าการอบแห้งด้วยลมร้อน 80°C ใช้เวลาสั้นกว่า 70°C และ 60°C ตามลำดับ

ไม่เพียงแต่ระดับอุณหภูมิลมร้อนขาเข้าเท่านั้นที่มีอิทธิพลต่อลักษณะการเปลี่ยนแปลงของอุณหภูมิลมร้อนขาออก ระดับชั้นความหนา ก็มีอิทธิพลต่อการเปลี่ยนแปลงของอุณหภูมิลมร้อนขาออกอีกด้วย แต่อิทธิพลของความหนาจะยังไม่แสดงให้เห็นในช่วงแรกๆ ดังกราฟรูปที่ 4-11 จะเห็นว่าในช่วงแรกของการทดลองการอบแห้งด้วยชั้นความหนา 1 cm , 1.25 cm และ 1.50 cm มีเส้นกราฟที่ทับกัน แต่เมื่ออบแห้งต่อไปอิทธิพลหนึ่งไม่นานนักก็จะเห็นว่าเส้นกราฟเริ่มแยกออกจากกัน

โดยเส้นกราฟการอบแห้งที่ชั้นความหนา 1 cm (การอบแบบชั้นบาง) จะแยกออกไปอยู่หนึ่งเส้นกราฟ การอบแห้งชั้นความหนา 1.25 cm และ 1.50 cm ตามลำดับ โดยเส้นกราฟการอบแห้งที่ชั้นความหนา 1 cm มีความชันมากกว่าเส้นกราฟการอบแห้งชั้นความหนา 1.25 cm และ 1.50 cm ตามลำดับ ทั้งนี้เนื่องจากปริมาณการบรรจุวัตถุคิดมีผลต่อประสิทธิภาพการถ่ายเทคร่วมร้อนจากลมร้อนในห้องอบแห้งสูงวัตถุคิด การอบแห้งแบบชั้นบางลมร้อนสามารถเข้าไปสัมผัสวัตถุคิดได้ทั่วถึงเนื่องจากมีช่องว่างระหว่างชั้นมาก พื้นที่สัมผัสอากาศร้อนจึงมีมาก แต่เมื่อใส่วัตถุคิดมากขึ้นมีผลให้ความหนาแน่นของวัตถุคิดในถาดเพิ่มมากขึ้น ช่องว่างระหว่างชั้นวัตถุคิดจะลดลง พื้นที่ผิวสัมผัสถูกจำกัดลงลดลงเท่ากับพื้นที่ถาด โอกาสที่ลมร้อนเข้าไปสัมผัสชั้นวัตถุคิดจึงน้อย นอกจากนี้ระดับชั้นความหนายังสัมพันธ์กับปริมาณความชื้นในห้องอบแห้ง การบรรจุหอน้ำไว้กลู่หันด้วยชั้นความหนานามากๆ เป็นการเพิ่มปริมาณความชื้นในห้องอบแห้งให้มีมากขึ้น ทำให้การของลมร้อนในการนำความชื้นออกจากห้องอบแห้งเพิ่มมากขึ้น ดังนั้นจะเห็นได้ว่าการอบแห้งด้วยชั้นความหนา 1.50 cm มีอุปสรรคในเรื่องของความด้านทานการถ่ายเทคร่วมร้อน และปริมาณความชื้นในห้องอบมากกว่าการอบแห้งด้วยชั้นความหนา 1.25 cm และ 1 cm ตามลำดับ



รูปที่ 4-10 กราฟแสดงความสัมพันธ์ระหว่างอุณหภูมิขาออก และเวลาอบแห้งหอนหัวไทรญี่ปุ่นความหนา 1cm (ก) 1.25cm (ข) 1.50cm (ค) ด้วยลมร้อนอุณหภูมิ 60°C 70°C และ 80°C โดยใช้เครื่องอบแห้งแบบสลับพิเศษลมร้อน



รูปที่ 4-11 กราฟแสดงความสัมพันธ์ระหว่างอุณหภูมิข้าวอก และเวลาอบแห้งห้องหัวไนย เมื่ออบที่ชั้นความหนา 1 cm 1.25cm และ 1.50 cm ด้วยลมร้อนอุณหภูมิ 60°C (ก) 70°C (ง) และ 80°C (ค) โดยใช้เครื่องอบแห้งแบบสแตนทิคทางลมร้อน

4.2.3 อัตราการลดความชื้น

4.2.3.1 อิทธิพลของตำแหน่ง\data

ความชื้นเริ่มต้นของห้อมหัวใหญ่ก่อนอบแห้งมีค่า $92.53\text{-}94.23\%$ (wb.) เมื่อเข้าสู่กระบวนการลดความชื้นห้อมหัวใหญ่มีการสูญเสียความชื้นอย่างต่อเนื่องตลอดระยะเวลาการทดลอง จากการสังเกตระหว่างการอบแห้งพบว่าห้อมหัวใหญ่ที่อยู่ในถาดเดียวกันมีลักษณะการแห้งที่ไม่สม่ำเสมอ กันตลอดทั้งถาด ห้อมหัวใหญ่ที่อยู่ตำแหน่งใกล้ช่องทางลมเข้าจะมีความชื้นลดลงมากกว่าห้อมหัวใหญ่ที่อยู่ตำแหน่งกลางถาด ทั้งนี้เป็นผลมาจากการร้อนบริเวณใกล้กับช่องทางลมเข้ามีความร้อนมาก และเป็นลมใหม่ที่มีความชื้นต่ำจึงสามารถรับความชื้นจากห้อมหัวใหญ่หันได้มากทำให้ลมร้อนมีความชื้นสูงขึ้นและอุณหภูมิลดลง เมื่อผ่านไปถึงบริเวณกลางถาดประสิทธิภาพการรับความชื้นจึงลดลงอีกทั้งความร้อนก็ลดลงทำให้เกิดความชื้นสะสมของอากาศบริเวณกลางถาด ต้องอาศัยเวลาให้ความชื้นบริเวณริมถาดลดลงมากพอ จึงจะสามารถถ่ายเทความชื้นบริเวณกลางถาดออกไปได้มากขึ้น

นอกจากความไม่สม่ำเสมอของการลดความชื้นภายในถาดแล้ว ยังพบอีกว่าการลดความชื้นของห้อมหัวใหญ่ในถาดแต่ละชั้นก็ไม่สม่ำเสมอ กันด้วย ทั้งนี้เป็นผลมาจากการสลับทิศทางลมร้อน จากการอบแห้งด้วยเครื่องอบแห้งไฟฟ้าจะเห็นว่าในช่วงختارการอบแห้งลดลงหัวใหญ่ มีอัตราการลดความชื้นที่แปรผันไปตามปริมาณความชื้นในวัตถุดินถ้าวัตถุดินมีความชื้นสูงอัตราการลดความชื้นก็จะสูงด้วย แต่สำหรับการอบด้วยเครื่องอบแห้งแบบสลับทิศทางลมร้อนมีลักษณะการลดความชื้นที่แตกต่างออกไป อัตราการลดความชื้นไม่เพียงแปรผันไปตามปริมาณความชื้นของวัตถุดินเท่านั้นยังขึ้นอยู่กับทิศทางลมร้อนระหว่างกระบวนการอบแห้งอีกด้วย จากกราฟในรูปที่ 4-12 ถึง 4-14 ซึ่งให้เห็นว่าแม้ความชื้นในวัตถุดินยังคงสูงอยู่แต่อัตราการลดความชื้นอาจลดลงได้และอาจกลับเพิ่มสูงขึ้นได้อีก

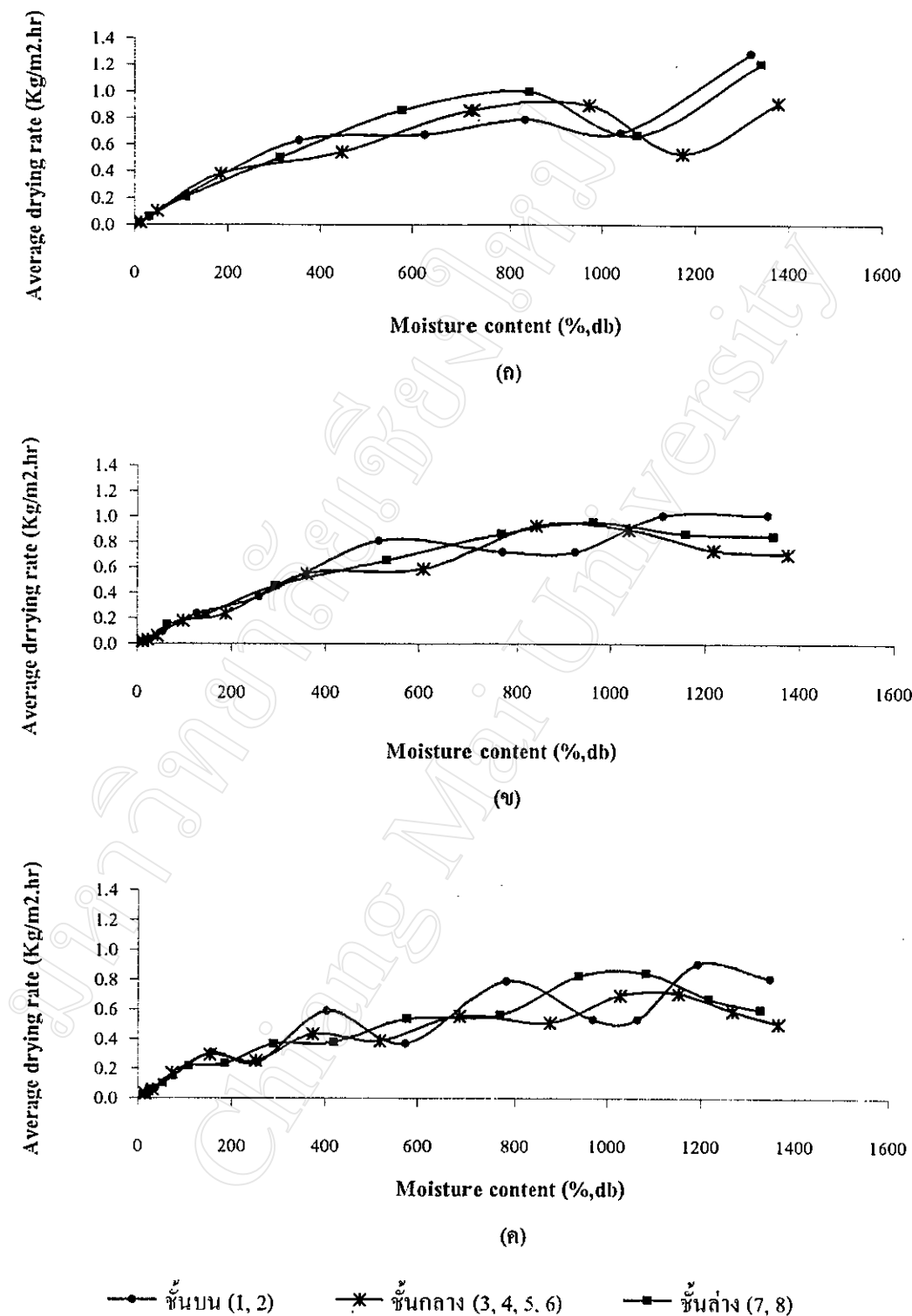
จากการลักษณะการลดความชื้นที่แตกต่างกันนี้สามารถแบ่งได้เป็น 3 กลุ่มคือ กลุ่มถาดชั้นบน (ชั้นที่ 1 และ 2) กลุ่มถาดชั้นกลาง (ชั้นที่ 3, 4, 5 และ 6) และกลุ่มถาดชั้นล่าง (ชั้นที่ 7 และ 8) ใน การทดลองอบแห้งห้อมหัวใหญ่ชั้นความหนา 1 cm อัตราการลดความชื้นจะมีค่าลดลง และเพิ่มขึ้น ในช่วงต้น ส่วนในช่วงหลังอัตราการลดความชื้นจะลดลงเรื่อยๆ เช่นเดียวกับชั้นความหนา 1.25 cm ต่ำกว่าชั้นความหนา 1.50 cm อัตราการลดความชื้นมีค่าลดลง และเพิ่มขึ้นทุกครั้งที่มีการสลับลม โดยชั้นบน และชั้นล่าง ได้รับอิทธิพลมากกว่าชั้นกลาง อย่างไรก็ตามเมื่อใช้อุณหภูมิสูงขึ้น คือที่ 80°C การแกว่งของเส้นกราฟอัตราการลดความชื้นจะลดลงอย่างเห็นได้ชัด

จากรูป 4-15 (ค) การทดลองอบห้อมหัวใหญ่ชั้นความหนา 1.50 cm ด้วยลมร้อนอุณหภูมิ 60°C มีการตอบสนองต่อการเปลี่ยนทิศทางลมร้อนอย่างมาก ในช่วง 2 ชั่วโมงแรก คือช่วงช่วงที่

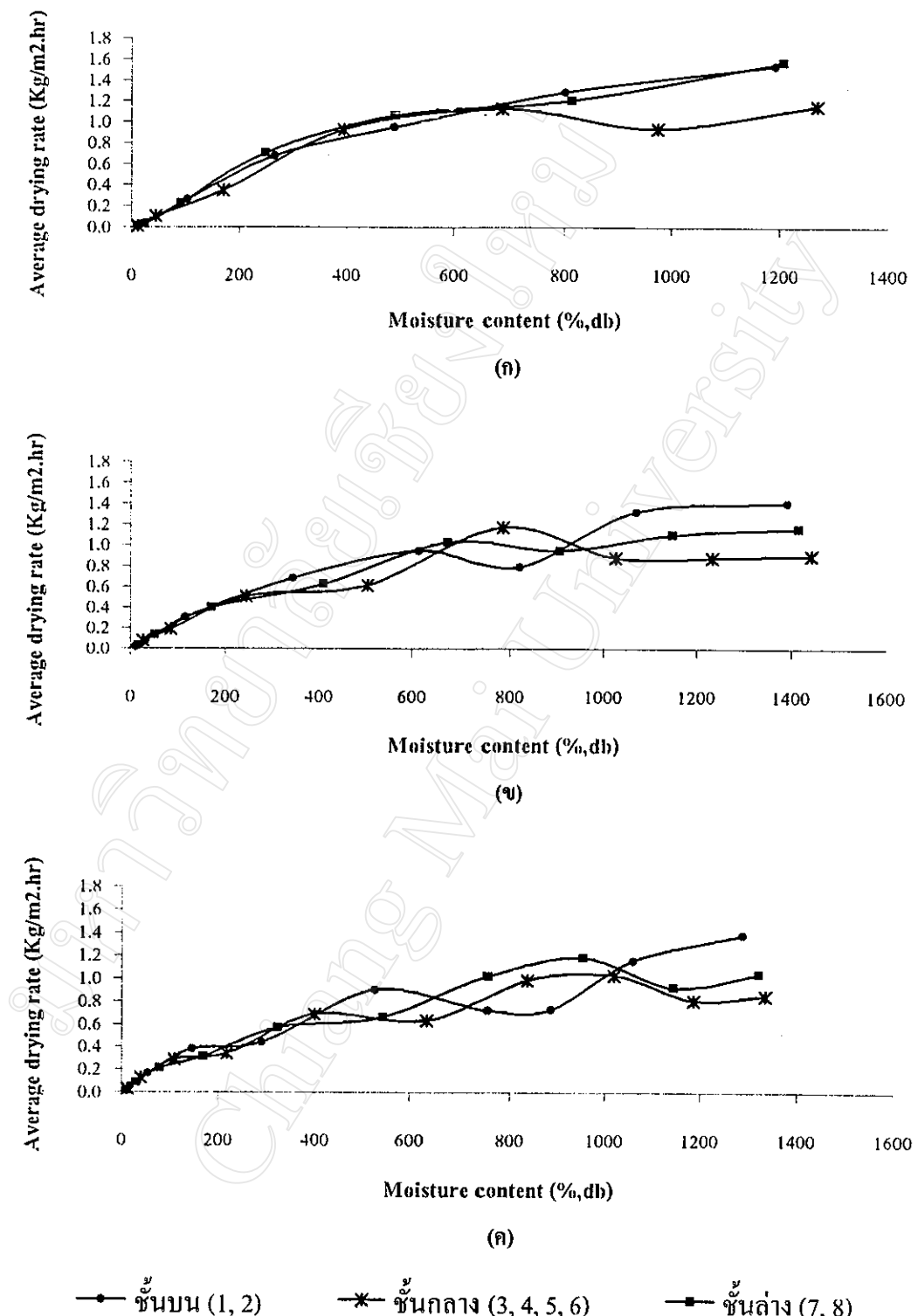
0-2 ลมร้อนของมีทิศขึ้น ห้อมหัวใหญ่ทั้ง 3 กลุ่ม มีอัตราการลดความชื้นเพิ่มขึ้น โดยกลุ่มชั้นบนมีอัตราการลดความชื้นเพิ่มขึ้นจาก $0.81 \text{ kg/m}^2.\text{hr}$ เป็น $0.91 \text{ kg/m}^2.\text{hr}$ กลุ่มชั้นล่างมีอัตราการลดความชื้นเพิ่มขึ้นจาก $0.60 \text{ kg/m}^2.\text{hr}$ เป็น $0.67 \text{ kg/m}^2.\text{hr}$ ส่วนกลุ่มชั้นกลางมีอัตราการลดความชื้นเพิ่มขึ้นจาก $0.50 \text{ kg/m}^2.\text{hr}$ เป็น $0.59 \text{ kg/m}^2.\text{hr}$

แต่เมื่อทำการเปลี่ยนทิศทางลมร้อนให้เป็นลมลงในช่วงที่ 2-4 จะเห็นว่าอัตราการลดความชื้นของห้อมหัวใหญ่ทั้งในภาคชั้นบนมีค่าลดลงจาก $0.91 \text{ kg/m}^2.\text{hr}$ ในช่วงที่ 2 เป็น $0.5 \text{ kg/m}^2.\text{hr}$ ในช่วงที่ 4 ส่วนชั้นกลางและล่างมีอัตราการลดความชื้นเพิ่มสูงขึ้นจาก $0.59 \text{ kg/m}^2.\text{hr}$ ในช่วงที่ 2 เป็น $0.69 \text{ kg/m}^2.\text{hr}$ ในช่วงที่ 4 สำหรับชั้นกลางเพิ่มสูงขึ้นจาก $0.67 \text{ kg/m}^2.\text{hr}$ ในช่วงที่ 2 เป็น $0.82 \text{ kg/m}^2.\text{hr}$ ในช่วงที่ 4 ทั้งนี้เนื่องจาก air flow resistance ของภาคชั้นบนเพิ่มมากขึ้น เพราะอยู่ใกล้จากช่องลมออกมากซึ่งต่างจากช่วงแรกที่อยู่ใกล้กับช่องลมออกที่สุด ส่วนชั้นล่างกลายเป็นชั้นที่อยู่ใกล้กับช่องลมออกมากที่สุด air flow resistance ลดลงมากทำให้ชั้นล่างมีอัตราการลดความชื้นเพิ่มสูงขึ้น กรณีของชั้นกลางสาเหตุที่มีอัตราการลดความชื้นเพิ่มขึ้นทั้งนี้เนื่องจากได้รับอิทธิพลความชื้นจากอากาศร้อนชันอันน้อยลง ชั้นบนมีการลดความชื้นในช่วงแรกไปมากแล้ว เมื่อสับสนร้อนชั้นกลางจึงได้รับอิทธิพลอากาศชื้นจากชั้นบนน้อยลง ซึ่งต่างจากช่วงแรก (ช่วงที่ 0-2) ซึ่งเป็นช่วงที่ชั้นล่างมีความชื้นเริ่มคืนสูงจึงได้รับอิทธิพลความชื้นจากชั้นล่างอย่างมาก จากนั้นเมื่อเปลี่ยนทิศทางลมร้อนอีกรั้งเป็นลมขึ้นในช่วงที่ 4-6 จะเห็นว่าอัตราการลดความชื้นของชั้นบนกลับเพิ่มขึ้นอีกรั้งเนื่องจากกลับมาเป็นชั้นที่อยู่ใกล้กับช่องทางลมออกอีกรั้ง ส่วนชั้นกลางและชั้นล่างมีอัตราการลดความชื้นลดลง

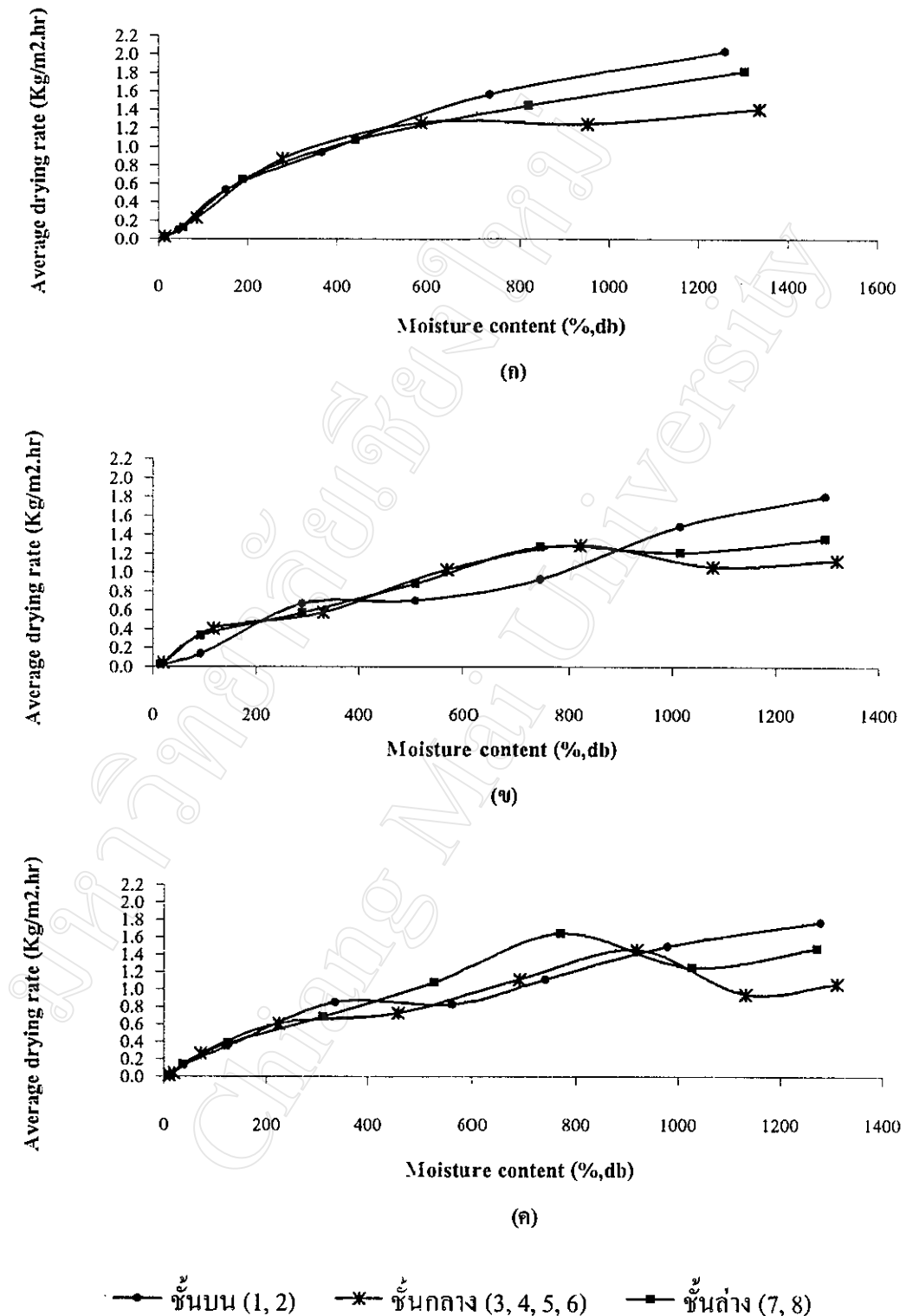
อิทธิพลของการเปลี่ยนทิศทางลมร้อนเกิดขึ้นนี้เรียกว่าปัจจัยทั่วไปของการทดลองเมื่อความชื้นลดลงมากแล้วจะเห็นว่าการเปลี่ยนทิศทางลมร้อนไม่มีผลต่อการเคลื่อนไหวของเส้นกราฟอีกต่อไป ในช่วงที่ 16-22 จะเห็นว่าเส้นกราฟอัตราการลดความชื้นของห้อมหัวใหญ่ทั้งชั้นบน ชั้นกลาง และชั้นล่าง ต่างก็มีแนวโน้มลดลงเรื่อยๆ ทั้งนี้เนื่องจากในช่วงท้ายของการอบแห้ง อัตราการลดความชื้นจะถูกควบคุมโดยความต้านทานภายใน (Hall, 1980)



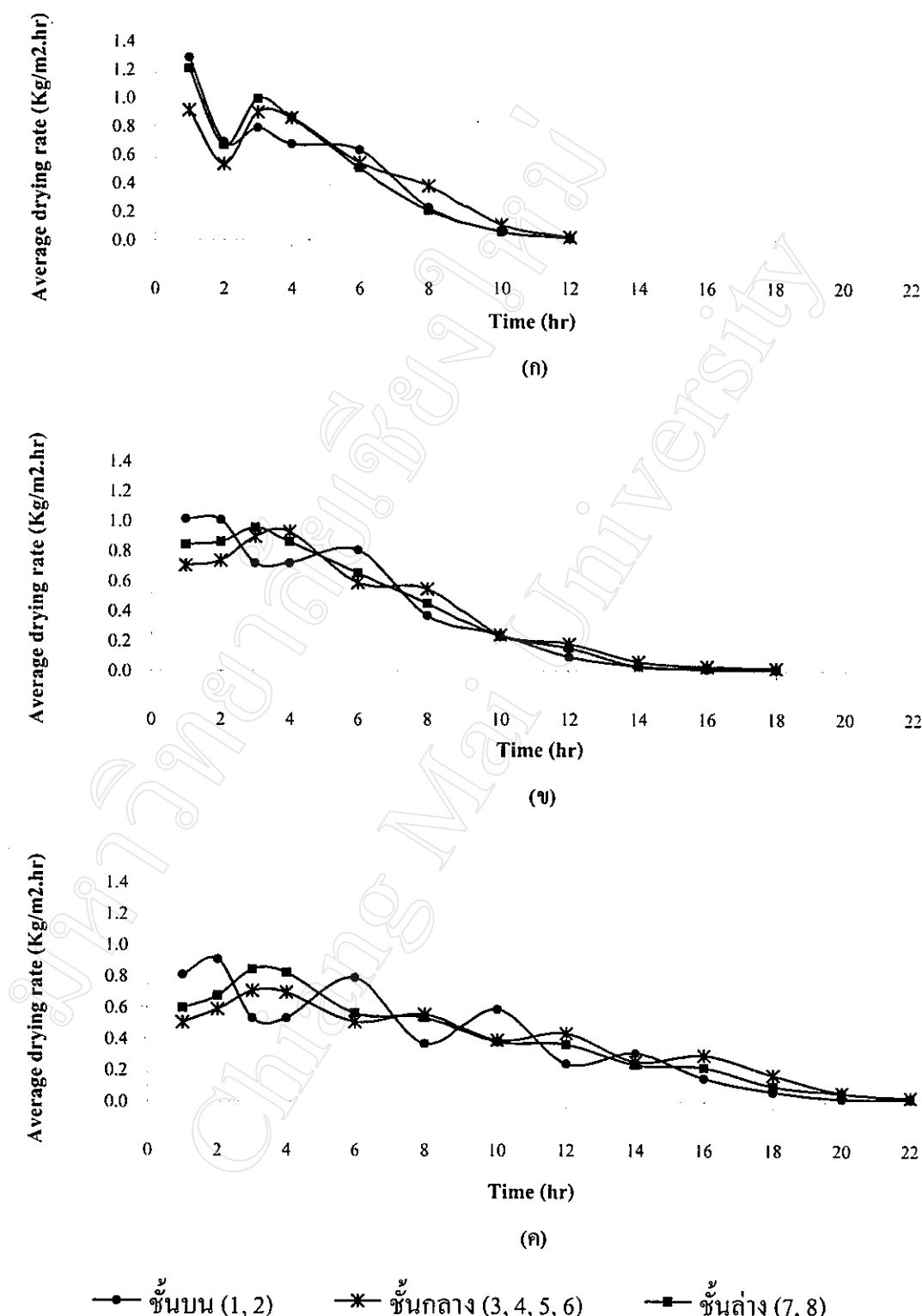
รูปที่ 4-12 กราฟแสดงความสัมพันธ์ระหว่างอัตราการลดความชื้น และความชื้นมาตรฐาน
แห้งของหอนหัวไผ่ทั้งชั้นความหนา 1 cm (ก) 1.25 cm (ง) และ 1.50 cm (ค) ใช้ลมร้อน
60°C อบด้วยเครื่องอบแห้งแบบสลับทิศทางลมร้อน หลับทิศทางลมร้อนทุก 2 ชั่วโมง



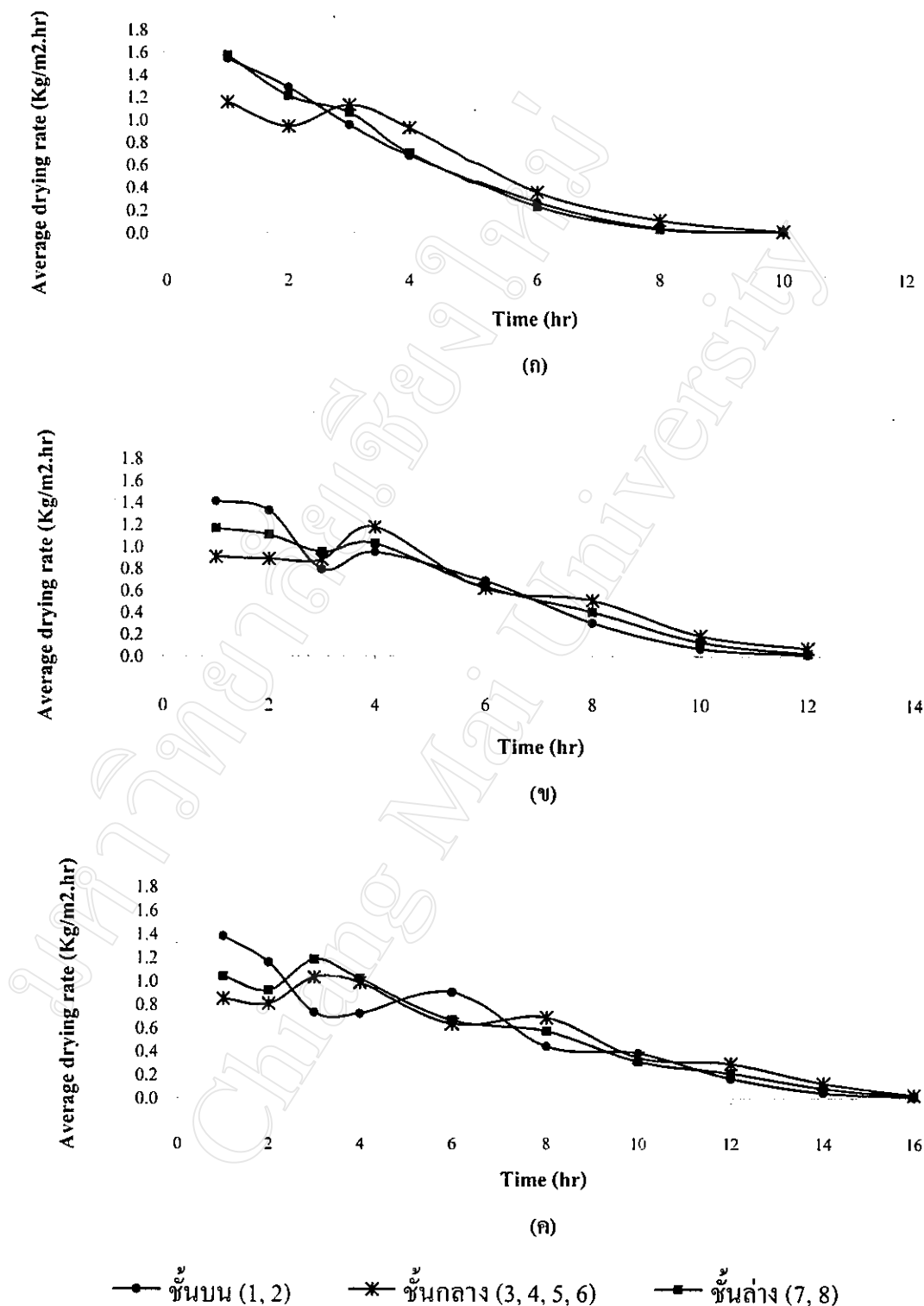
รูปที่ 4-13 กราฟแสดงความสัมพันธ์ระหว่างอัตราการลดความชื้น และความชื้นมาตรฐาน
แห้งของหอยไห夷ผ่านชั้นความหนา 1 cm (ก) 1.25 cm (ข) และ 1.50 cm (ค) ใช้ลมร้อน
70°C อบด้วยเครื่องอบแห้งแบบสลับทิศทางลมร้อน สลับทิศทางลมร้อนทุก 2 ชั่วโมง



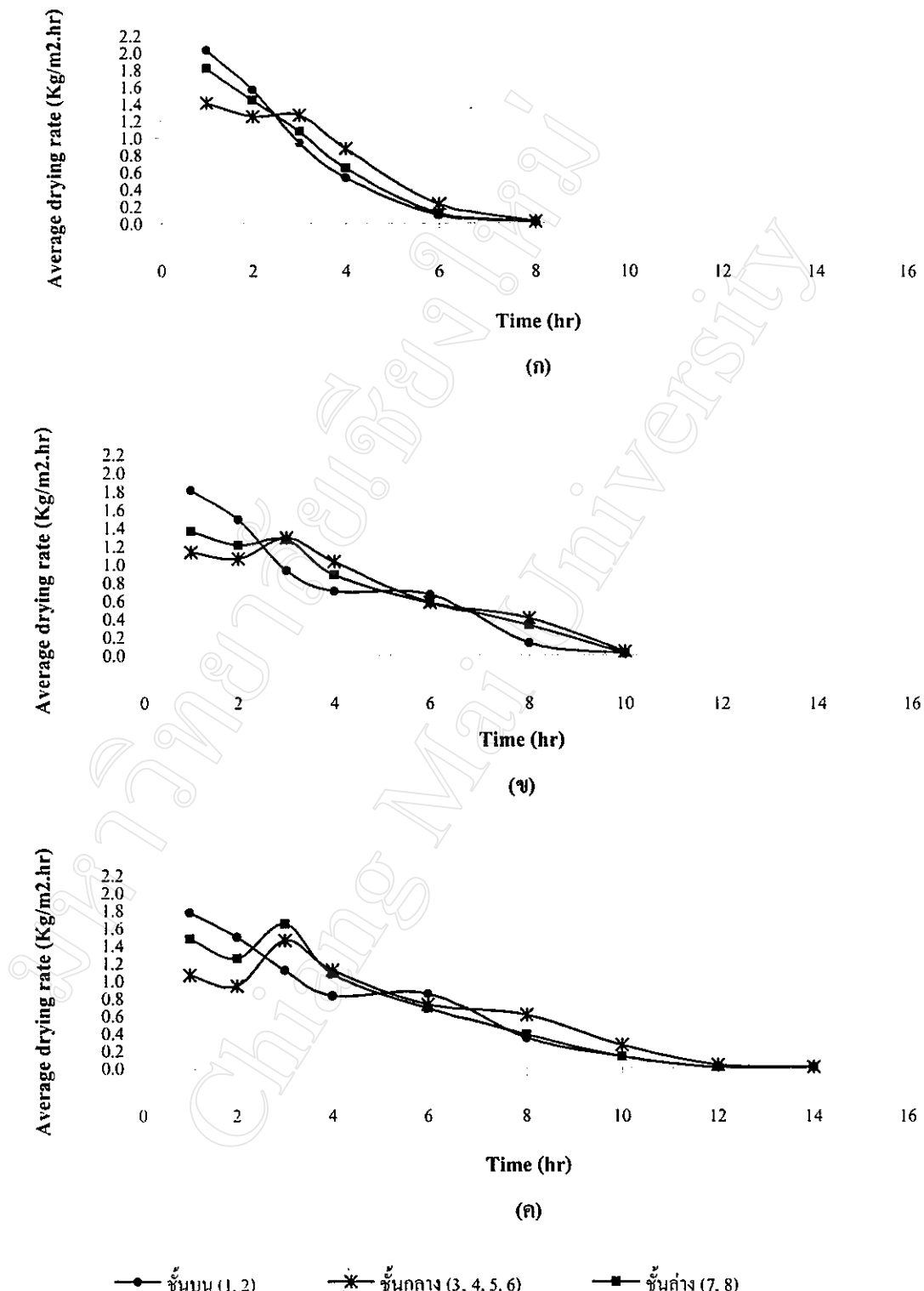
รูปที่ 4-14 กราฟแสดงความสัมพันธ์ระหว่างอัตราการลดความชื้น และความชื้นมาตรฐาน แห้งของหอนหัวไทรผู้ที่น้ำหนักความหนา 1 cm (ก) 1.25 cm (ข) และ 1.50 cm (ค) ใช้ลมร้อน 80°C อบด้วยเครื่องอบแห้งแบบสีดับพิเศษลมร้อน ลักษณะทางลมร้อนทุก 2 ชั่วโมง



รูปที่ 4-15 กราฟแสดงความสัมพันธ์ระหว่างอัตราการลดความชื้น และเวลาอบแห้งของหอยหัวใหญ่ที่มีความหนา 1 cm (ก) 1.25 cm (ข) และ 1.50 cm (ค) ใช้ลมร้อน 60°C อบด้วยเครื่องอบแห้งแบบสลับทิศทางลมร้อน สลับทิศทางลมร้อนทุก 2 ชั่วโมง



รูปที่ 4-16 กราฟแสดงความสัมพันธ์ระหว่างอัตราการลดความชื้น และเวลาอบแห้งของหอยหัวใหญ่ทั้งชั้นความหนา 1 cm (ก) 1.25 cm (ง) และ 1.50 cm (ค) ใช้ลมร้อน 70°C อบด้วยเครื่องอบแห้งแบบสลับพิเศษลมร้อน สลับพิเศษลมร้อนมาก 2 ชั่วโมง



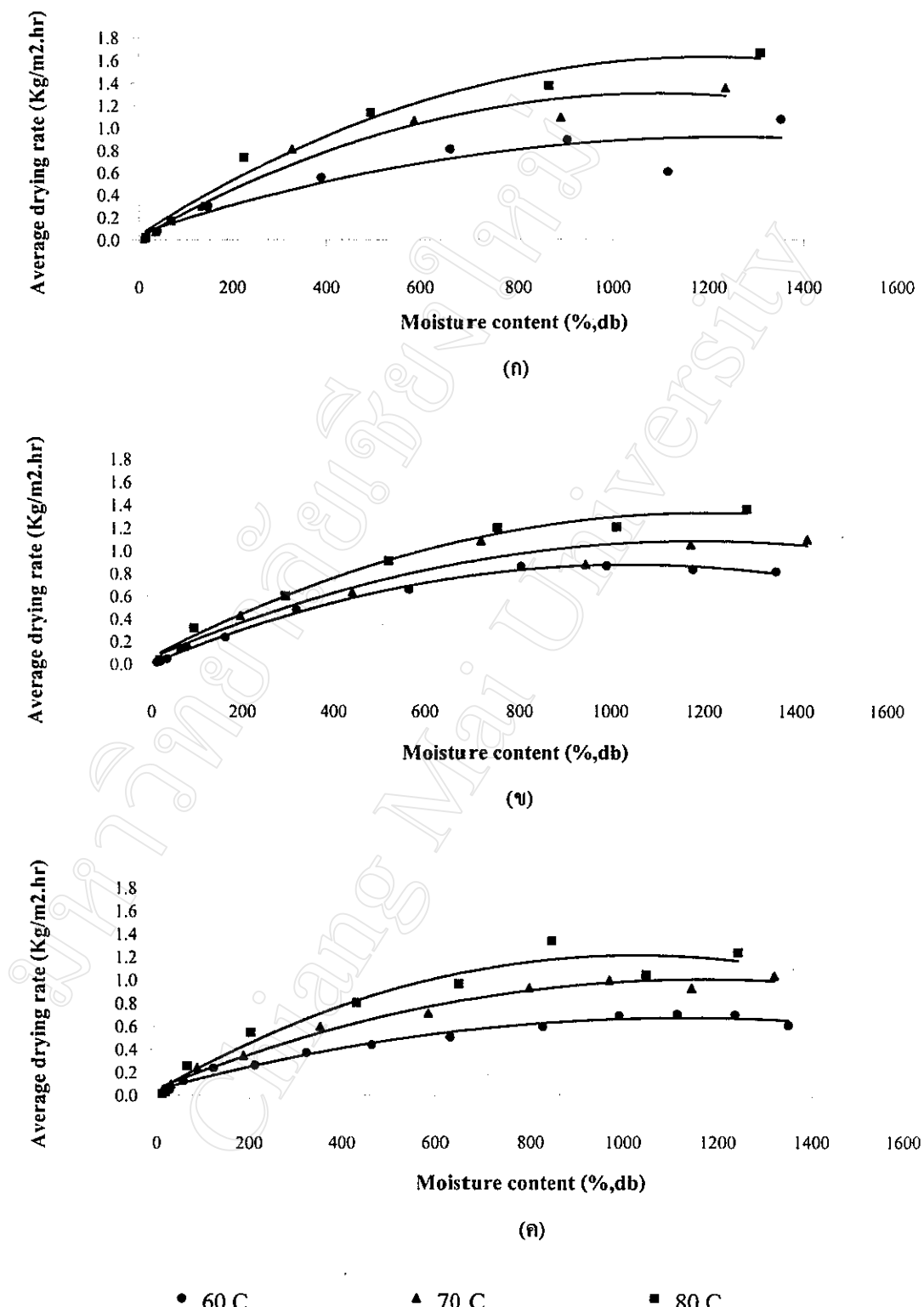
รูปที่ 4-17 กราฟแสดงความสัมพันธ์ระหว่างอัตราการลดความชื้น และเวลาอบแห้งของหอยหัวใหญ่ทั้ง 3 ขนาดความหนา 1 cm (ก) 1.25 cm (ง) และ 1.50 cm (ค) ใช้ลมร้อน 80°C อบด้วยเครื่องอบแห้งแบบสลับทิศทางลมร้อน สลับทิศทางลมร้อนทุก 2 ชั่วโมง

4.2.3.2 อิทธิพลเนื่องจากระดับอุณหภูมิลมร้อนที่ใช้ในการอบแห้ง

ลมร้อนอุณหภูมิสูงมีความสามารถในการกระตุ้นให้น้ำระเหยออกจากชั้นห้องหัวไหญ่หัน ได้มากกว่าลมร้อนอุณหภูมิที่ต่ำกว่า จากการทดลองซึ่งให้เห็นว่าห้องหัวไหญ่หันที่อบแห้งด้วยลมร้อนอุณหภูมิ 80°C มีอัตราการลดความชื้นสูงกว่าห้องหัวไหญ่หันที่อบแห้งด้วยลมร้อน 60°C และ 70°C เมื่ออบแห้งด้วยชั้นความหนาเท่ากัน กราฟรูปที่ 4-18 (ก) เป็นการทดลองอบแห้งหอนหัวไหญ่หันชั้นความหนา 1 cm พบว่าในช่วงที่หอนหัวไหญ่หันมีความชื้นสูงอุณหภูมิที่ใช้ในการอบแห้งมีอิทธิพลต่ออัตราการลดความชื้นของห้องหัวไหญ่หันอย่างมาก โดยการอบแห้งด้วยลมร้อน 80°C จะทำให้หอนหัวไหญ่หันมีอัตราการลดความชื้นสูงกว่าห้องหัวไหญ่หันที่อบแห้งด้วยลมร้อน 70°C และ 60°C ตามลำดับ แต่เมื่อความชื้นของหอนหัวไหญ่หันลดลงอิทธิพลของอุณหภูมิต่ออัตราการลดความชื้นจะลดลง ความแตกต่างของอัตราการลดความชื้นลดลง เส้นกราฟการอบแห้งด้วยลมร้อน 80°C 70°C และ 60°C จะเข้าใกล้กันมากขึ้น

การอบแห้งหอนหัวไหญ่หันด้วยชั้นความหนา 1.25 cm และ 1.50 cm ได้ผลการทดลองคล้ายกันกับการอบแห้งด้วยชั้นความหนา 1 cm (รูปที่ 4-18 ข และ ค)

การอบแห้งด้วยลมร้อนอุณหภูมิที่แตกต่างกันมีผลต่อระยะเวลาการอบแห้ง การอบแห้งด้วยลมร้อน 80°C จะใช้เวลาสั้นกว่าการอบแห้งด้วยลมร้อน 70°C และ 60°C โดยการอบแห้งด้วยลมร้อน 80°C ชั้นความหนา 1 , 1.25 และ 1.5 cm ใช้เวลาในการอบแห้งเพียง 6 ชั่วโมง 45 นาที, 9 ชั่วโมง 30 นาที และ 12 ชั่วโมง 30 นาที ตามลำดับ ได้หอนหัวไหญ่ที่มีความชื้นประมาณ 12% (w.b.) การอบแห้งด้วยลมร้อน 70°C ใช้เวลานานขึ้นโดยใช้เวลา 8 ชั่วโมง 20 นาที, 11 ชั่วโมง 40 นาที และ 14 ชั่วโมง 20 นาที ตามลำดับ ส่วนการอบแห้งด้วยลมร้อน 60°C นั้นจะใช้เวลาในการอบแห้งนานที่สุดคือ 10 ชั่วโมง 40 นาที, 16 ชั่วโมง 40 นาที และ 21 ชั่วโมง 20 นาที ตามลำดับ ซึ่งสอดคล้องกับการทดลองของ Rapusas (1995) พบว่าอุณหภูมิลมร้อนมีอิทธิพลต่ออัตราการอบแห้งอย่างมาก โดยการอบด้วยลมร้อน 90°C หอนหัวไหญ่หันมีอัตราการอบแห้งสูงกว่าการอบด้วยลมร้อน 70°C และ 50°C ตามลำดับ และ Ede (1958) พบว่าการอบแห้งมันฝรั่งแห่งที่ความชื้นต่ำนั้น อัตราการอบแห้งจะขึ้นกับอุณหภูมิอากาศ (อุณหภูมิภาวะแห้ง) เมื่อใช้ลมร้อนอุณหภูมิ 60°C 70°C และ 80°C พบว่าอัตราการลดความชื้นเพิ่มขึ้นเมื่อใช้ลมร้อนที่มีอุณหภูมิสูงขึ้น



รูปที่ 4-18 ภาพแสดงความสัมพันธ์ระหว่างอัตราการลดความชื้น และความชื้น
มาตรฐานแห่งของห้องหัวไทรผู้ชั้นความหนา 1 cm (ก) 1.25 cm (ข) และ 1.50 cm (ค)
อบด้วยเครื่องอบแห้งแบบสลับทิศทางลมร้อน สลับทิศทางลมร้อนทุก 2 ชั่วโมง

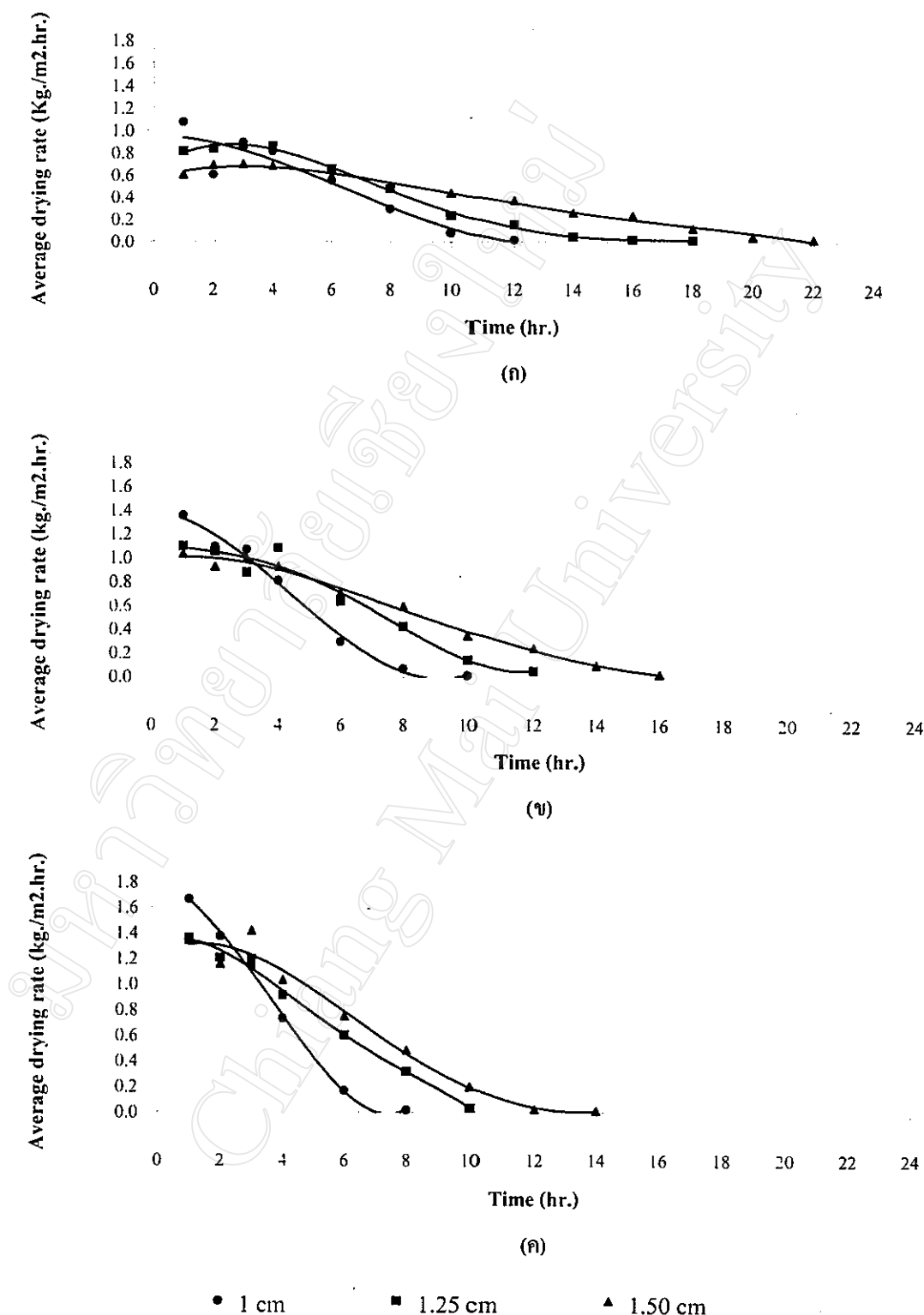
4.2.3.3 อิทธิพลเนื่องจากระดับชั้นความหนาของหอนหัวใหญ่ทั้งหมด

การอบแห้งด้วยเครื่องอบแห้งแบบดาดฟันชั้นความหนาของวัตถุดินมีผลต่อประสิทธิภาพการลดความชื้นของวัตถุดินอย่างยิ่ง ทั้งนี้เนื่องจาก การบรรจุหอนหัวใหญ่ทั้งด้วยชั้นความหนามากๆ จะทำให้ air flow resistance มีมาก โอกาสที่ลมร้อนจะสามารถถูกผ่านชั้นหอนหัวใหญ่กระทำได้ยากขึ้น ส่งผลให้พื้นที่ผิวที่หอนหัวใหญ่จะได้สัมผัสนับอาการร้อนมีน้อยลง ประสิทธิภาพการอบแห้งจึงลดลง

การทดสอบอบหอนหัวใหญ่ด้วยลมร้อน 60°C บรรจุหอนหัวใหญ่ทั้งชั้นความหนา 1 cm (รูปที่ 4-19 ก) ในชั่วโมงแรกของการอบแห้งหอนหัวใหญ่มีอัตราการลดความชื้น $1.08\text{ kg/m}^2.\text{hr}$ มีค่าสูงกว่าอัตราการลดความชื้นของหอนหัวใหญ่ที่อบแห้งด้วยชั้นความหนา 1.25 cm และ 1.50 cm ซึ่งมีอัตราการลดความชื้น 0.81 และ $0.60\text{ kg/m}^2.\text{hr}$ ตามลำดับ (ตารางภาคผนวกที่ 1-8) อัตราการลดความชื้นของหอนหัวใหญ่ชั้นความหนา 1 cm มีแนวโน้มลดลงตามระยะเวลาการอบแห้งแต่ขังคงมีค่าสูงกว่าอัตราการลดความชื้นของหอนหัวใหญ่ที่อบแห้งด้วยชั้นความหนา 1.25 cm และ 1.50 cm จนกระทั่งในชั่วโมงที่ 4 หอนหัวใหญ่ชั้นความหนา 1 cm มีอัตราการลดความชื้นลดต่ำกว่าอัตราการลดความชื้นของหอนหัวใหญ่ชั้นความหนา 1.25 cm และในชั่วโมงที่ 6 มีอัตราการลดความชื้นลดต่ำกว่าอัตราการลดความชื้นของหอนหัวใหญ่ชั้นความหนา 1.50 cm ส่วนการอบแห้งด้วยชั้นความหนา 1.25 cm มีอัตราการลดความชื้นลดต่ำกว่าอัตราการลดความชื้นของหอนหัวใหญ่ชั้นความหนา 1.50 cm ในชั่วโมงที่ 8

เนื่องจากการอบแห้งแบบชั้นบาง (ชั้นความหนา 1 cm) มีอัตราการอบแห้งสูง ส่งผลให้หอนหัวใหญ่แห้งเร็วใช้เวลาในการอบแห้งเพียง 10 ชั่วโมง 40 นาที ได้ความชื้น $12\%(\text{w.b.})$ ซึ่งเร็วกว่าการอบแห้งแบบชั้นหนา 1.25 cm และ 1.50 cm ต้องใช้เวลาในการอบแห้งนานถึง 16 ชั่วโมง 40 นาที และ 21 ชั่วโมง 20 นาที ตามลำดับ

ส่วนการทดสอบอบแห้งหอนหัวใหญ่ทั้งด้วยลมร้อน 70°C และ 80°C ได้ผลการทดสอบคล้ายคลึงกับการอบแห้งด้วยลมร้อน 60°C แตกต่างกันที่การอบแห้งด้วยลมร้อน 70°C และ 80°C หอนหัวใหญ่ทั้งมีอัตราการอบแห้งสูงกว่าการอบแห้งด้วยลมร้อน 60°C ซึ่งมีผลต่อระยะเวลาในการอบแห้งใช้น้อยกว่า โดยการอบแห้งด้วยลมร้อน 70°C ใช้เวลาอบแห้ง 8 ชั่วโมง 20 นาที, 11 ชั่วโมง 40 นาที และ 14 ชั่วโมง 20 นาที สำหรับการอบแห้งหอนหัวใหญ่ชั้นความหนา 1 , 1.25 และ 1.50 cm ตามลำดับ ส่วนการอบแห้งด้วยลมร้อน 80°C ใช้เวลาอบแห้ง 6 ชั่วโมง 45 นาที, 9 ชั่วโมง 30 นาที และ 12 ชั่วโมง 30 นาที สำหรับการอบแห้งหอนหัวใหญ่ทั้งชั้นความหนา 1 , 1.25 และ 1.50 cm ตามลำดับ (รูปที่ 4-19 ข และ ค)



รูปที่ 4-19 กราฟแสดงความสัมพันธ์ระหว่างอัตราการลดความชื้น และเวลาอบแห้งของหอยหัวใหญ่อบแห้ง ใช้ลมร้อนอุณหภูมิ 60°C (ก) 70°C (ข) และ 80°C (ค)
อบด้วยเครื่องอบแห้งแบบสลับทิศทางลมร้อน สลับทิศทางลมร้อนทุก 2 ชั่วโมง

4.2.4 การเกิดสีน้ำตาลในผลิตภัณฑ์ห้อมหัวใหญ่หันนอนแห้ง

คุณภาพของผลิตภัณฑ์ห้อมหัวใหญ่หันนอนแห้งขึ้นอยู่กับกระบวนการผลิต ซึ่งมีผลต่อสีของผลิตภัณฑ์อย่างมาก ที่นี่เนื่องจากปฏิกิริยาระหว่างองค์ประกอบภายในอาหาร (food constituents) ในระหว่างกระบวนการอบแห้ง ปฏิกิริยาที่สำคัญที่สุดคือ non-enzymatic browning ซึ่งนำไปสู่การสูญเสียการยอมรับทางด้านสี กลิ่น และคุณค่าทางสารอาหาร Samaniego-Esguerra *et al.* (1991) ได้ยืนยันว่าการเปลี่ยนสีของห้อมเกล็ด (onion flake) ในการอบแห้งทางการค้าเกิดขึ้นเนื่องจากกระบวนการ non-enzymatic browning mechanism

Rapusas and Driscoll (1995) กล่าวไว้ว่ากระบวนการอบแห้งนั้นการกระจายตัวของความชื้นและอุณหภูมิในอาหารขึ้นอยู่กับสภาพของอากาศที่ใช้ในการอบแห้ง ซึ่งในการทดลองพบว่าการอบแห้งด้วยลมร้อนอุณหภูมิต่ำ 60°C ประกอบกับการใช้ชั้นความหนาแบบหนา (1.50 cm) มีผลต่อการเกิดสีน้ำตาลในผลิตภัณฑ์ห้อมหัวใหญ่หันนอนแห้งอย่างมาก การอบแห้งด้วยชั้นความหนา 1.50 cm ห้อมหัวใหญ่ถูกจัดวางขัดแย้งมาก ลักษณะการแห้งของห้อมหัวใหญ่จะเกิดที่ชั้นผิวน้ำก่อน และเคลื่อนลงสู่ชั้นล่าง เนื่องจากลมร้อนไม่สามารถเข้าไปสัมผัสรชินห้อมหัวใหญ่ได้ทั่วถึง พื้นที่ผิวสัมผัสถกับอากาศเท่ากับพื้นที่ผิวของถาด จากการที่ 4-23 จะเห็นว่าห้อมหัวใหญ่บริเวณขอบถาดมีสีปักติเนื่องจากบริเวณขอบดูไบล์กับตำแหน่งลมเข้าจึงมีการถ่ายเทอากาศดี ไม่มีการสะสมความชื้นมาก ห้อมหัวใหญ่ในบริเวณนี้จะแห้งไปก่อนบริเวณกลางถาด จุดที่เกิดสีน้ำตาลจะอยู่บริเวณกลางถาดและเป็นห้อมหัวใหญ่ส่วนที่อยู่ข้างล่างของถาด ส่วนห้อมหันบนที่ผิวน้ำถาดมีสีปักติ คาดว่าบริเวณกลางถาดเป็นจุดที่มีการเคลื่อนไหวของอากาศน้อย และอากาศมีประสิทธิภาพในการถ่ายเทความชื้นได้ต่ำจึงเกิดการสะสมความชื้นค่อนข้างมาก และเป็นเวลานานเพียงพอต่อการเกิดปฏิกิริยา non-enzymatic browning ในกรอบทดลองพนวณาการเกิดปฏิกิริยาจะเกิดขึ้นเมื่อบาณแห้งได้ประมาณ 18 ชั่วโมง เมื่อความชื้นห้อมหัวใหญ่เมื่อค่าประมาณ 16.37% ถึง 38.56% (ตารางภาคผนวกที่ 1-7) ซึ่งสอดคล้องกับงานทดลองของ Rapusas and Driscoll (1995) พบว่าอุณหภูมิลมร้อนมีผลต่อการเกิดสีน้ำตาล และอัตราการเกิดสีน้ำตาลแปรผันไปตามค่า Aw ของห้อมหัวใหญ่ อัตราการเกิดสีน้ำตาลสูงสุดเมื่อห้อมหัวใหญ่หันมีค่า Aw อยู่ในช่วง 0.6 ถึง 0.7 ซึ่งมีค่า Equilibrium Moisture Contents (EMC, % wet basis) 20.4%

ส่วนการอบแห้งวิธีอื่น พนวณาการเกิดสีน้ำตาลเพียงเล็กน้อย คือการอบแห้งชั้นความหนา 1.25 cm ด้วยลมร้อนอุณหภูมิ 60°C (รูปที่ 4-22) และการอบแห้งชั้นความหนา 1.50 cm ด้วยลมร้อนอุณหภูมิ 70°C (รูปที่ 4-26)

การอบแห้งแบบชั้นบาง (1 cm) ไม่พบปฏิกิริยา non-enzymatic browning เมื่อบาณแห้งด้วยลมร้อน 60°C , 70°C และ 80°C (รูปที่ 4-21 , 4-24 และ 4-27) การอบด้วยลมร้อนอุณหภูมิสูง 80°C

ก็ไม่พบปฏิกิริยา non-enzymatic browning เช่นกันแม้ว่าจะอบด้วยความหนาว 1 , 1.25 หรือ 1.50 cm กีตาน (รูปที่ 4-27 ถึง 4-29) และการอบด้วยชั้นความหนาว 1.25 cm ด้วยลมร้อน 70°C ก็ไม่พบปฏิกิริยา non-enzymatic browning เช่นกัน (รูปที่ 4-25)

4.2.5 คุณภาพของห้อมหัวใหญ่หันอบแห้ง

คุณภาพของผลิตภัณฑ์เป็นค่านิหนึ่งที่สามารถชี้วัดได้ว่าวิธีการผลิตใดเป็นวิธีที่มีความเหมาะสมมากที่สุด ในการทดลองแต่ละวิธีจะได้ผลิตภัณฑ์ที่มีคุณภาพแตกต่างกันออกไปการตัดสินใจต้องเปรียบเทียบกับคุณภาพของห้อมหัวใหญ่อบแห้งในทางการค้าซึ่งได้รับการยอมรับแล้วจากผู้ซื้อระดับโรงงาน

4.2.5.1 ค่าสีห้อมหัวใหญ่หันอบแห้ง

กระบวนการผลิตเป็นปัจจัยสำคัญในการกำหนดสีของผลิตภัณฑ์ จากการทดลองอุณหภูมิ เป็นปัจจัยหนึ่งที่สามารถใช้กำหนดสีของผลิตภัณฑ์ห้อมหัวใหญ่อบแห้งได้ ส่วนชั้นความหนาวนั้นมีผลต่อสีของผลิตภัณฑ์เพียงเล็กน้อย จากภาพที่ 4-21 ถึง 4-29 จะเห็นว่าการอบแห้งด้วยลมร้อน อุณหภูมิ 80°C ได้ผลิตภัณฑ์ห้อมหัวใหญ่หันอบแห้งที่มีสีเหลืองเข้ม ระดับความเข้มของสีจะลดลงตามระดับอุณหภูมิลมร้อน ซึ่งสอดคล้องกับผลการวัดค่าสีด้วยเครื่องวัดสี (color meter) ดังแสดงในตารางที่ 4-5 จากการเปรียบเทียบสีของผลิตภัณฑ์ระหว่างผลิตภัณฑ์ห้อมหัวใหญ่อบแห้งในทางการค้ากับห้อมหัวใหญ่อบแห้งด้วยเครื่องอบแห้งแบบสลับทิศทางลมร้อน ห้อมหัวใหญ่อบแห้งด้วยลมร้อนอุณหภูมิ 80°C มีสีใกล้เคียงกับห้อมหัวใหญ่หันอบแห้งในทางการค้ามากที่สุด ทั้งนี้พิจารณาจากค่า L เป็นค่าความสว่างของสีเริ่มจากสีขาว ($L=100$) ไปจนถึงสีดำ ($L=0$) ค่า a เป็นค่าของสีแดง เมื่อ a มีค่าเป็นบวก สีเขียวเมื่อ a มีค่าเป็นลบ ส่วนค่า b เป็นค่าของสีเหลืองเมื่อ b มีค่าเป็นบวก สีน้ำเงินเมื่อ b มีค่าเป็นลบ

จากตารางที่ 4-5 ผลของการวิเคราะห์ค่าความสว่างของสี (ค่า L) พบว่าห้อมหัวใหญ่อบแห้งที่อบด้วยลมร้อน 60°C 70°C 80°C และการอบแห้งทางการค้า ไม่มีความแตกต่างกันอย่างมีนัยสำคัญทางสถิติ ($P \geq 0.05$) ของค่า L ยกเว้นการอบที่ชั้นความหนาว 1.50 cm ด้วยลมร้อน 80°C มีค่า L ที่แตกต่างอย่างมีนัยสำคัญทางสถิติ ($P < 0.05$) กับการอบแห้งวิธีอื่นๆ แต่ไม่มีความแตกต่างอย่างมีนัยสำคัญทางสถิติ ($P \geq 0.05$) กับห้อมหัวใหญ่อบแห้งทางการค้า การอบที่ชั้นความหนาว 1.50 cm ด้วยลมร้อน 80°C เป็นวิธีที่ได้ห้อมหัวใหญ่อบแห้งที่มีสีสว่างน้อยที่สุด มีค่า L 57.50 ส่วนการอบแห้งทางการค้ามีค่า L 62.27

ค่า a เป็นค่าที่บ่งชี้ถึงปริมาณสีแดงในหอยหัวใหญ่อบแห้ง จากการทดลองพบว่าการอบด้วยอุณหภูมิ 80°C ได้ผลิตภัณฑ์ที่มีสีออกน้ำตาลมากกว่าการอบด้วยอุณหภูมิอื่นๆ ทั้ง 3 ชั้นความหนา จากการวิเคราะห์ทางด้านสถิติไม่พบความแตกต่างอย่างมีนัยสำคัญทางสถิติ ($P \geq 0.05$) กับหอยหัวใหญ่อบแห้งทางการค้า โดยการอบด้วยลมร้อน 80°C ชั้นความหนา 1.50 cm มีค่า a 5.07 ซึ่งมีค่าใกล้เคียงกับหอยหัวใหญ่อบแห้งทางการค้ามากที่สุด (มีค่า a เท่ากับ 5.22)

การอบแห้งด้วยลมร้อน 70°C จะได้ผลิตภัณฑ์ที่มีสีออกเขียวมากกว่าการอบที่ 80°C จากการวิเคราะห์ทางด้านสถิติไม่พบความแตกต่างอย่างมีนัยสำคัญทางสถิติ ($P \geq 0.05$) กับการอบด้วยลมร้อน 60°C ทั้ง 3 ชั้นความหนา และการอบด้วยลมร้อน 80°C ที่ชั้นความหนา 1 และ 1.25 cm

ส่วนการอบด้วยลมร้อน 60°C จะได้ผลิตภัณฑ์ที่มีสีออกเขียวมากที่สุด จากการวิเคราะห์ทางด้านสถิติพบว่าการอบด้วยลมร้อน 60°C มีค่า a ที่ไม่มีความแตกต่างอย่างมีนัยสำคัญทางสถิติ ($P \geq 0.05$) กับการอบด้วยลมร้อน 70°C แต่มีความแตกต่างอย่างมีนัยสำคัญทางสถิติ ($P < 0.05$) กับการอบด้วยลมร้อน 80°C และการอบทางการค้า

ค่า b เป็นค่าที่บ่งชี้ปริมาณสีเหลืองในหอยหัวใหญ่อบแห้ง จากการทดลองหอยหัวใหญ่อบแห้งที่อุณหภูมิ 80°C ชั้นความหนา 1.50 cm ไม่พบความแตกต่างอย่างมีนัยสำคัญทางสถิติ ($P \geq 0.05$) กับหอยหัวใหญ่อบแห้งทางการค้า โดยการอบแห้งที่อุณหภูมิ 80°C ชั้นความหนา 1.5 cm มีค่า b เท่ากับ 17.45 ใกล้เคียงกับหอยหัวใหญ่อบแห้งทางการค้ามากที่สุดซึ่งมีค่าเท่ากับ 14.68 ส่วนการอบแห้งวิธีอื่นมีค่า b ค่อนข้างสูง มีค่าอยู่ในช่วง 18.30 - 19.60

เมื่อเปรียบเทียบสีของหอยหัวใหญ่อบแห้งทั้ง 3 ระดับอุณหภูมิ คือ 60°C 70°C 80°C และทั้ง 3 ชั้นความหนา คือ 1 1.25 1.50 cm พบร่วมกันว่าการอบด้วยอุณหภูมิ 80°C ที่ชั้นความหนา 1.5 cm เป็นการอบแห้งที่ทำให้ได้สีที่ใกล้เคียงกับหอยหัวใหญ่แห้งทางการค้ามากที่สุดเนื่องจากไม่มีความแตกต่างอย่างมีนัยสำคัญทางสถิติ ($P \geq 0.05$) ของค่า L , a และ b กับหอยหัวใหญ่อบแห้งทางการค้า

ตารางที่ 4-5 การวิเคราะห์ค่าการวัดสี (ค่า L, a และ b) ของหอนหัวใหญ่อบแห้งวิธีต่างๆ ด้วยเครื่องอบแห้งแบบสลับทิศทางลมร้อน ประเภทสาม

Temperature (°C)	Depth (cm)	Color		
		L	a	b
60	1.00	66.37 ± 1.96 bc	0.68 ± 1.33 a	18.28 ± 0.51 b
	1.25	67.20 ± 0.49 c	0.53 ± 0.44 a	19.36 ± 0.42 b
	1.50	66.59 ± 1.58 bc	0.45 ± 0.10 a	18.30 ± 0.67 b
70	1.00	66.16 ± 0.83 bc	1.30 ± 1.99 ab	18.80 ± 0.94 b
	1.25	66.31 ± 2.17 bc	1.39 ± 1.58 ab	19.59 ± 0.62 b
	1.50	65.04 ± 4.74 bc	1.91 ± 2.13 ab	19.03 ± 0.69 b
80	1.00	63.57 ± 4.47 bc	3.21 ± 1.96 bc	19.15 ± 0.83 b
	1.25	63.17 ± 0.87 bc	3.37 ± 0.94 bc	19.60 ± 0.73 b
	1.50	57.50 ± 5.25 a	5.07 ± 2.02 c	17.45 ± 1.38 ab
commercial		62.27 ± 0.86 ab	5.22 ± 0.28 c	14.68 ± 5.08 a

หมายเหตุ : ตัวเลขในแนวตั้งที่ตามด้วยอักษรที่เหมือนกัน ไม่มีความแตกต่างกันทางสถิติที่ระดับความเชื่อมั่น 95%

4.2.5.2 ค่า Water activity (Aw)

ค่า Aw เป็นค่าที่บ่งบอกถึงปริมาณน้ำอิสระที่อยู่ในผลิตภัณฑ์อบแห้ง ที่จุลินทรีย์สามารถนำไปใช้ในการเจริญเติบโตได้ ในการอบแห้งจึงต้องพยายามลดความชื้นให้ค่า Aw มีค่าต่ำที่สุดเพื่อป้องกันการเจริญของจุลินทรีย์ และผลิตภัณฑ์สามารถเก็บรักษาได้นาน

ผลวิเคราะห์ค่า Aw แสดงในตารางที่ 4-6 ซึ่งให้เห็นว่าการอบแห้งทุกวิธีคือการอบแห้งด้วยลมร้อน 60°C 70°C และ 80°C ทั้ง 3 ชั้นความหนา พบว่าไม่มีความแตกต่างกันอย่างมีนัยสำคัญทางสถิติ ($P \geq 0.05$) โดยมีค่า Aw อยู่ในช่วง 0.35-0.42 โดยสถานที่เชื้อจุลินทรีย์จะเจริญเป็นไปได้ยากซึ่ง “ไฟโรจัน” (2539) ได้กล่าวว่าการที่ค่า Aw ต่ำนั้นสามารถขับย้งการเจริญของจุลินทรีย์ได้ ยกเว้นจุลินทรีย์ที่ทนแล้งสามารถเจริญได้ เช่น เคียวกัน “พูบูลย์” (2532) ได้กล่าวว่าจุลินทรีย์จะไม่สามารถเจริญได้ที่ค่า Aw ต่ำกว่าในช่วงประมาณ 0.5-0.6 และลักษณา (2530) ก็ได้กล่าวว่าผลิตภัณฑ์ที่มีค่า Aw ต่ำประมาณ 0.70 จะไม่เกิดการเสียจากจุลินทรีย์ได้เลย ค่า Aw 0.70 นี้เมื่อเทียบเป็นเปอร์เซ็นต์ความชื้นของผักแห้ง จะมีค่า 14-20% หรือความชื้นของผลไม้แห้งประมาณ 18-25%

เมื่อเปรียบเทียบค่า Aw ของหอนหัวใหญ่ที่อบแห้งด้วยเครื่องอบแห้งแบบสลับทิศทางลมร้อนกับค่า Aw ของหอนหัวใหญ่อบแห้งทางการค้าแล้วพบว่าการอบแห้งหอนหัวใหญ่ด้วยลมร้อน 60°C ชั้นความหนา 1.5 cm 70°C ชั้นความหนา 1.25 cm และ 80°C ชั้นความหนา 1 และ

1.25 cm ไม่มีความแตกต่างอย่างมีนัยสำคัญทางสถิติ ($P \geq 0.05$) กับการอบแห้งทางการค้า ส่วนวิธีอื่นนอกจากที่กล่าวมานี้พบว่ามีค่า Aw ที่มีความแตกต่างอย่างมีนัยสำคัญทางสถิติ ($P < 0.05$) กับการอบแห้งทางการค้า

ตารางที่ 4-6 การวิเคราะห์ค่าความชื้นมาตรฐานเปียก และค่า Aw ของห้อมหัวใหญ่อบแห้ง ด้วยเครื่องอบแห้งแบบสลับทิศทางลมร้อน ประเภทถุง

Temperature (°C)	Depth (cm)	Moisture content (%, wb)	AW
60	1.00	9.11 ± 0.60 ab	0.40 ± 0.02 ab
	1.25	8.43 ± 0.76 a	0.37 ± 0.03 a
	1.50	9.57 ± 0.49 ab	0.41 ± 0.02 ab
70	1.00	8.12 ± 0.46 a	0.36 ± 0.02 a
	1.25	9.32 ± 1.41 ab	0.40 ± 0.05 ab
	1.50	7.85 ± 0.38 a	0.35 ± 0.02 a
80	1.00	9.69 ± 1.11 ab	0.42 ± 0.04 ab
	1.25	10.02 ± 5.41 ab	0.39 ± 0.18 ab
	1.50	9.77 ± 1.40 ab	0.38 ± 0.10 a
commercial		12.33 ± 0.47 b	0.50 ± 0.10 b

หมายเหตุ : ตัวเลขในแนวตั้งที่ตามด้วยอักษรที่เหมือนกัน ไม่มีความแตกต่างกันทางสถิติที่ระดับความเชื่อมั่น 95%

4.2.5.3 การคืนตัว (Rehydration)

ในการทำแห้งอาหาร ไม่ว่าจะโดยใช้ความร้อนสูง หรือใช้หลักของการระเหยของผลึกน้ำแข็งกีดาม ตัวอาหารจะสูญเสียน้ำออกไปทำให้เกิดการเปลี่ยนแปลงของอาหารทั้งโครงสร้าง ลักษณะ และโดยเฉพาะเนื้อเยื่อ ซึ่งมีผลต่อการคืนตัวของอาหาร ในทางการค้าใช้ความร้อนสูงถึง 100-105°C ในช่วงต้น จากนั้นค่อยลดอุณหภูมิลงมาเป็น 80°C จนกระทั่งสิ้นสุดการอบแห้ง อัตราการคืนตัวจึงต่ำมีค่า 5.26 สามารถดูคุณภาพกลับได้ 83.29% เมื่อเปรียบเทียบกับห้อมหัวใหญ่อบแห้งที่ใช้เครื่องอบแห้งแบบสลับทิศทางลมร้อนพบว่าทฤษฎีมีอัตราการคืนตัว และปริมาณน้ำคุณภาพกลับที่แตกต่างอย่างมีนัยสำคัญทางสถิติ ($P < 0.05$) กับห้อมหัวใหญ่อบแห้งทางการค้า

การอบแห้งที่ใช้เครื่องอบแห้งแบบสลับทิศทางลมร้อนด้วยลมร้อน 60°C และ 80°C ได้ห้อมหัวใหญ่ที่มีอัตราการคืนตัวและปริมาณน้ำคุณภาพกลับไม่แตกต่างกันอย่างมีนัยสำคัญทางสถิติ ($P \geq 0.05$)

ทั้ง 3 ชั้นความหนา โดยมีอัตราการคืนตัวอยู่ในช่วง 5.88-6.00 และ 85.39%-85.68% ตามลำดับ แต่มีความแตกต่างทางสถิติกับการอบด้วยลมร้อน 70°C

การอบด้วยลมร้อน 70°C ชั้นความหนา 1 และ 1.25 cm เป็นการทดลองที่ทำให้ได้ห้อมหัวใหญ่อบแห้งที่มีค่าอัตราการคืนตัว และปริมาณน้ำสูงที่สุด ซึ่ง 2 วิธีนี้มีอัตราการคืนตัวและปริมาณน้ำดูดกลับไม่แตกต่างกันอย่างมีนัยสำคัญทางสถิติ ($P \geq 0.05$) ซึ่งมีค่าอยู่ในช่วง 6.32%-6.41% และ 86.01%-86.31% ตามลำดับ แต่มีค่าอัตราการคืนตัวและปริมาณน้ำดูดกลับแตกต่างกับการอบด้วยชั้นความหนา 1.50 cm โดยมีค่าประมาณ 5.82 และ 84.97% ตามลำดับ

ผลของความแตกต่างในเรื่องการคืนตัวและปริมาณน้ำดูดกลับนี้ไม่อาจสรุปได้ว่าเป็นผลอันเนื่องมาจากการใช้อุณหภูมิอบแห้ง หรือการใช้ชั้นความหนาที่แตกต่างกัน ทั้งนี้เนื่องจากความชื้นสูดท้ายของห้อมหัวใหญ่หลังอบแห้งที่เต็ลงอุณหภูมิแตกต่างกัน ดังตารางที่ 4-7 จะเห็นว่าความชื้นสูดท้ายของห้อมหัวใหญ่อบแห้งที่ลมร้อน 60°C 70°C และ 80°C มีค่าแตกต่างกัน โดยมีค่าอยู่ในช่วง 14.11-15.84%(w.b.) 11.57-12.49%(w.b.) และ 13.28-13.92%(w.b.) ตามลำดับ ส่วนห้อมหัวใหญ่อบแห้งทางการค้ามีความชื้นประมาณ 12.33%(w.b.)

ตารางที่ 4-7 การวิเคราะห์การทดสอบการคืนตัวของห้อมหัวใหญ่อบแห้งวิธีต่างๆ ด้วยเครื่องอบแห้งแบบสลับทิศทางลมร้อน ประเภทสาม

Temperature (°C)	Depth (cm)	Moisture content (%, w.b.)	rehydration ratio	water (%)
60	1.00	15.00 ± 0.27 de	5.93 ± 0.06 bc	85.67 ± 0.16 cd
	1.25	15.84 ± 0.99 e	5.88 ± 0.09 bc	85.68 ± 0.23 cd
	1.50	14.11 ± 0.57 cd	5.88 ± 0.14 bc	85.39 ± 0.35 bc
70	1.00	11.57 ± 0.18 a	6.32 ± 0.14 d	86.01 ± 0.30 de
	1.25	12.27 ± 0.24 ab	6.41 ± 0.05 d	86.31 ± 0.12 e
	1.50	12.49 ± 0.12 ab	5.82 ± 0.07 b	84.97 ± 0.17 b
80	1.00	13.35 ± 0.15 bc	5.96 ± 0.12 bc	85.48 ± 0.29 c
	1.25	13.28 ± 0.10 bc	5.95 ± 0.10 bc	85.43 ± 0.24 c
	1.50	13.92 ± 1.70 cd	6.00 ± 0.13 c	85.64 ± 0.31 cd
commercial		12.33 ± 0.47 ab	5.26 ± 0.08 a	83.32 ± 0.26 a

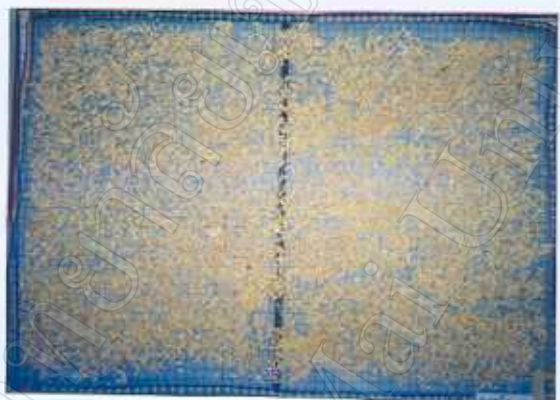
หมายเหตุ : ตัวเลขในแนวนี้ทั้งที่ตามด้วยอักษรที่เหมือนกัน ไม่มีความแตกต่างกันทางสถิติที่ระดับความเชื่อมั่น 95%



รูปที่ 4-20 หอนมหัวไทรผู้ทั้งสอดก่อนอนแห้ง



กุ่มดาดชันบน



กุ่มดาดชันกลาง



กุ่มดาดชันล่าง

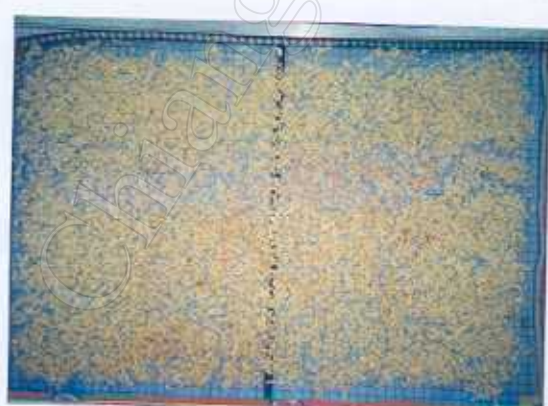
รูปที่ 4-21 หอนหัวไนอยู่หันชั้นความหนา 1 cm หลังอบแห้งด้วยลมร้อน 60°C



กลุ่มถุงชั้นบน

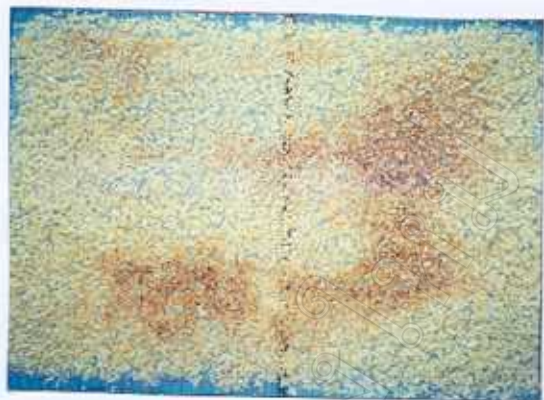


กลุ่มถุงชั้นกลาง



กลุ่มถุงชั้นล่าง

รูปที่ 4-22 ห้อมหัวใหญ่หันชั้นความหนา 1.25 cm หลังอบแห้งด้วยลมร้อน 60°C



กลุ่ม-dataชั้นบน

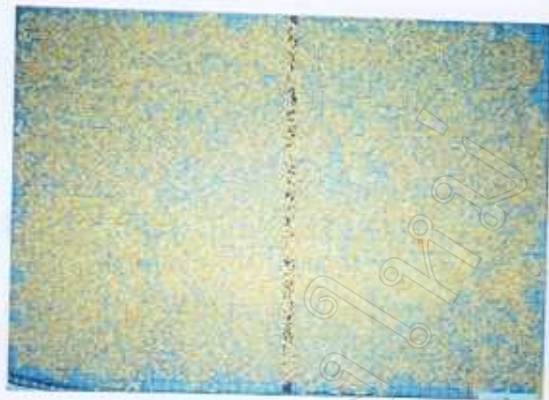


กลุ่ม-dataชั้นกลาง



กลุ่ม-dataชั้นล่าง

รูปที่ 4-23 ห้อมหัวไหอยู่ทั้งชั้นความหนา 1.50 cm หลังอบแห้งด้วยลมร้อน 60°C



กลุ่มดาดชั้นบน



กลุ่มดาดชั้นกลาง

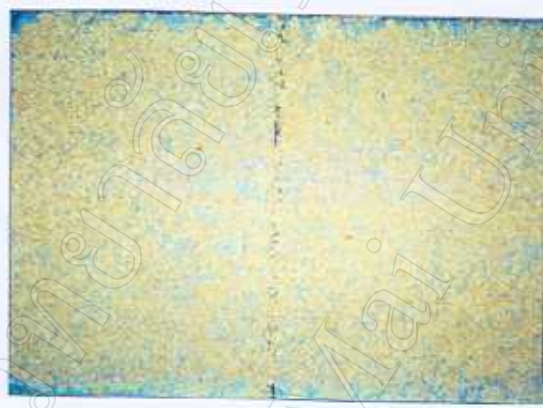


กลุ่มดาดชั้นล่าง

รูปที่ 4-24 หอนหัวไทรยุ่หันชั้นความหนา 1 cm หลังอบแห้งด้วยลมร้อน 70°C



กุ่มดาดซันบน



กุ่มดาดซันกลาง



กุ่มดาดซันล่าง

รูปที่ 4-25 หอนหัวไหอยู่ทันชั้นความหนา 1.25 cm หลังอบแห้งด้วยลมร้อน 70°C



กุ่มดาดชั้นบน



กุ่มดาดชั้นกลาง



กุ่มดาดชั้นล่าง

รูปที่ 4-26 ห่มหัวใหญ่หันชั้นความหนา 1.50 cm หลังอบแห้งด้วยลมร้อน 70°C



กลุ่มดาดขันบน

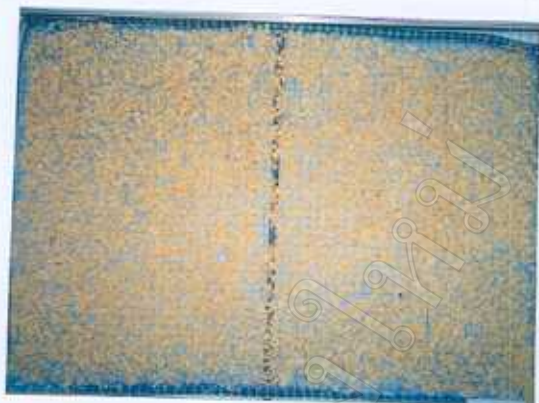


กลุ่มดาดขันกลาง



กลุ่มดาดขันล่าง

รูปที่ 4-27 หอยหัวไทรผู้หันขั้นความหนา 1 cm หลังอบแห้งด้วยลมร้อน 80°C



กลุ่มดาดชันบน



กลุ่มดาดชันกลาง



กลุ่มดาดชันล่าง

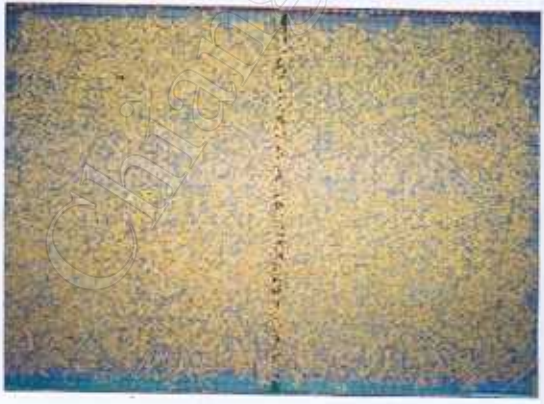
รูปที่ 4-28 หอนหัวไทรญี่หันชั้นความหนา 1.25 cm หลังอบแห้งด้วยลมร้อน 80°C



กุ่มดาดชั้นบน



กุ่มดาดชั้นกลาง



กุ่มดาดชั้นล่าง

รูปที่ 4-29 ห้อมหัวไหอยู่หันชั้นความหนา 1.50 cm หลังอบแห้งด้วยลมร้อน 80°C

4.2.6 การวิเคราะห์ต้นทุนผลตอบแทนทางด้านเศรษฐศาสตร์ในการผลิตห้องหัวไหญ่อบแห้ง

การวิเคราะห์ต้นทุนการผลิตห้องหัวไหญ่หันอบแห้ง โดยใช้วิธีการอบแห้ง 9 วิธี คือ

วิธีที่ 1	อบแห้งห้องหัวไหญ่หันชั้นความหนา 1 cm	ด้วยลมร้อนอุณหภูมิ 60°C
วิธีที่ 2	อบแห้งห้องหัวไหญ่หันชั้นความหนา 1.25 cm	ด้วยลมร้อนอุณหภูมิ 60°C
วิธีที่ 3	อบแห้งห้องหัวไหญ่หันชั้นความหนา 1.50 cm	ด้วยลมร้อนอุณหภูมิ 60°C
วิธีที่ 4	อบแห้งห้องหัวไหญ่หันชั้นความหนา 1 cm	ด้วยลมร้อนอุณหภูมิ 70°C
วิธีที่ 5	อบแห้งห้องหัวไหญ่หันชั้นความหนา 1.25 cm	ด้วยลมร้อนอุณหภูมิ 70°C
วิธีที่ 6	อบแห้งห้องหัวไหญ่หันชั้นความหนา 1.50 cm	ด้วยลมร้อนอุณหภูมิ 70°C
วิธีที่ 7	อบแห้งห้องหัวไหญ่หันชั้นความหนา 1 cm	ด้วยลมร้อนอุณหภูมิ 80°C
วิธีที่ 8	อบแห้งห้องหัวไหญ่หันชั้นความหนา 1.25 cm	ด้วยลมร้อนอุณหภูมิ 80°C
วิธีที่ 9	อบแห้งห้องหัวไหญ่หันชั้นความหนา 1.50 cm	ด้วยลมร้อนอุณหภูมิ 80°C

เมื่อนำค่าใช้จ่ายทั้งหมดมาคำนวณหาต้นทุนการผลิตต่อ กิโลกรัมแห้ง ทั้ง 9 วิธีการอบแห้ง พนวจวิธีการอบแห้งห้องหัวไหญ่หันวิธีที่ 3 เป็นวิธีที่ใช้ต้นทุนการผลิตสูงที่สุดคือ 272.33 บาทต่อ กิโลกรัมแห้ง ในขณะที่การอบแห้งด้วยวิธีที่ 7 ใช้ต้นทุนการผลิตต่ำที่สุด 253.10 บาทต่อ กิโลกรัมแห้ง (ตารางที่ 4-8) แต่เนื่องจากตลาดห้องหัวไหญ่หันอบแห้งเป็นตลาดที่ต่อเนื่องกันแล้ว เป็นการผลิต เพื่อส่ง โรงงานดังนั้นจึงมีการกำหนดลักษณะเฉพาะของสินค้าโดยต้องมีสี และขนาดตามที่โรงงาน ต้องการเท่านั้น ซึ่งจากการวิเคราะห์คุณภาพแล้วว่า ให้เห็นว่า ห้องหัวไหญ่หันอบแห้งด้วยวิธีที่ 9 มี คุณภาพด้านสีที่ไม่แตกต่างกับห้องหัวไหญ่อบแห้งทางการค้าอย่างมีนัยสำคัญทางสถิติ ส่วนวิธีอื่นๆ เช่นวิธีที่ 3 เป็นวิธีที่ทำให้ได้ผลิตภัณฑ์ที่มีสีน้ำตาล (รูปที่ 4-23) ซึ่งไม่สามารถขายได้จึงถือว่าเป็น วิธีที่ไม่มีโอกาสทางการตลาด จึงมีเพียงวิธีที่ 9 เท่านั้นที่มีความเป็นไปได้ทางการตลาด ซึ่งเมื่อทำการศึกษาด้านต้นทุนการผลิต พนวจวิธีที่ 9 ใช้ต้นทุนในการผลิต 254.39 บาทต่อ กิโลกรัมแห้ง จะ ขายได้ในราคากิโลกรัมละ 250 บาท ทำให้ขาดทุนกิโลกรัมละ 4.39 บาท (ตารางที่ 4-9) ดังนั้นหาก ต้องการผลิตห้องหัวไหญ่อบแห้งโดยวิธีที่ 9 ให้ขายได้กำไรจะต้องพยายามลดต้นทุนการผลิตลง จาก ตารางที่ 4-8 จะเห็นว่า แรงในการหันมีราคาสูงถึง 105.11 บาทต่อ กิโลกรัมแห้ง เมื่อพิจารณา รายรับเหนือต้นทุนที่ไม่รวมค่าหันแล้วพบว่า มีกำไร 100.72 บาทต่อ กิโลกรัมแห้ง แสดงว่า หากจ่ายค่า แรงหันหองหัวไหญ่ได้ในราคากิโลกรัมแห้ง ก็จะสามารถทำกำไรได้

ส่วนคุณภาพด้านขนาดของห้องหัวไหญ่อบแห้งที่ผลิตขึ้นด้วยวิธีการต่างๆ ข้างต้น พบว่า ยัง คงมีปัญหาในเรื่องความสม่ำเสมอของขนาดสินค้า เมื่อจากในงานทดลองเป็นการหันด้วยมือ ซึ่ง ต่างกับห้องหัวไหญ่หันอบแห้งที่ผลิตโดยโรงงานจะมีขนาดที่สม่ำเสมอเนื่องจากใช้เครื่องหัน ซึ่ง นอกจากราคาจะได้ขนาดที่มีความสม่ำเสมอแล้วพบว่า ยังเป็นการลดต้นทุนค่าหันอีกด้วย ซึ่งหากมีการนำ

เอาเครื่องหั่นมาใช้สำหรับเกย์ตระกระทำให้ได้ผลิตภัณฑ์ที่มีขนาดสม่ำเสมอและบังสามารถลดต้นทุนการผลิตลงได้ ซึ่งจะทำให้ค่าหันลดลงเหลือเพียง 9.18 บาทต่อคิวโลกรัมแห้ง (คุ้วอย่างการคำนวณในภาคผนวกที่ 2-2) มีผลให้ต้นทุนการอบแห้งวิธีที่ 9 ลดลงเหลือคิวโลกรัมละ 158.39 บาท (ตารางที่ 4-10) สามารถทำกำไรได้ถึงคิวโลกรัมละ 91.61 บาท ในขณะเดียวกันวิธีการหั่นดังกล่าวก็จะช่วยลดปัญหาด้านความไม่สม่ำเสมอของขนาดหอนหัวใหญ่อบแห้งที่ผลิตขึ้นด้วย

ตารางที่ 4-8 ต้นทุนการผลิตหอนหัวใหญ่อบแห้งต่อคิวโลกรัมแห้ง ที่อบแห้งด้วยวิธีต่างๆ จำแนกตามรายการต้นทุน

รายการ ต้นทุน	จำนวนเงิน (บาท / กิโลกรัมแห้ง)								
	วิธีที่ 1	วิธีที่ 2	วิธีที่ 3	วิธีที่ 4	วิธีที่ 5	วิธีที่ 6	วิธีที่ 7	วิธีที่ 8	วิธีที่ 9
ค่าใช้จ่ายในการลงทุน									
ค่าเครื่องอบแห้ง	6.66	7.81	8.15	5.43	5.72	5.70	4.60	4.81	5.06
ค่าเสียโอกาสเงินลงทุน	2.18	2.55	2.66	1.78	1.87	1.87	1.50	1.57	1.66
รวมค่าใช้จ่ายในการลงทุน	8.83	10.36	10.81	7.20	7.59	7.57	6.10	6.38	6.72
ค่าใช้จ่ายในการดำเนินการ									
ค่าวัสดุคง	75.18	74.75	74.94	75.18	74.75	74.94	75.18	74.75	74.94
ค่าแก๊สหุงต้ม	43.54	47.09	51.55	53.33	40.33	46.80	52.72	43.58	44.31
ค่าไฟฟ้า	9.54	9.92	9.48	6.63	7.27	7.40	5.74	5.83	6.60
ค่าแรงในการหั่น	105.37	104.84	105.11	105.37	104.84	105.11	105.37	104.84	105.11
ค่าแรงในการอบแห้ง	23.56	22.05	20.18	22.07	18.75	17.43	20.74	17.56	16.54
ค่าเสียโอกาสเงินทุน	0.17	0.26	0.26	0.17	0.16	0.17	0.17	0.16	0.16
รวมค่าใช้จ่ายในการดำเนินการ	257.34	258.92	261.52	262.75	246.10	251.85	259.91	246.72	247.67
รวมต้นทุนในการผลิต	266.18	269.28	272.33	269.95	253.69	259.41	266.01	253.10	254.39

หมายเหตุ : คุ้วอย่างวิธีการคำนวณในภาคผนวกที่ 2-1

ตารางที่ 4-9 การวิเคราะห์ทางการเงินของการออมแห่งห้องหัวใหญ่หันวิธีที่ 9

รายการ	จำนวนเงิน
ต้นทุน (บาทต่อ กิโลกรัมแห้ง)	254.39
กำไรสุทธิ (บาทต่อ กิโลกรัมแห้ง)	-4.39
รายรับหนึ่งตันทุนที่ไม่รวมค่าหัน (บาทต่อ กิโลกรัมแห้ง)	100.72

หมายเหตุ : คูตัวอย่างวิธีการคำนวณในภาคผนวกที่ 2-1

ตารางที่ 4-10 ต้นทุนการผลิตห้องหัวใหญ่ อ่อนแห้งต่อ กิโลกรัมแห้ง ที่อ่อนแห้งด้วยวิธีต่างๆ เมื่อคิดค่าใช้จ่ายการหันด้วยเครื่องหันห้องหัวใหญ่ จำแนกตามรายการต้นทุน

รายการ ต้นทุน	จำนวนเงิน (บาท / กิโลกรัมแห้ง)								
	วิธีที่ 1	วิธีที่ 2	วิธีที่ 3	วิธีที่ 4	วิธีที่ 5	วิธีที่ 6	วิธีที่ 7	วิธีที่ 8	วิธีที่ 9
ค่าใช้จ่ายในการลงทุน									
ค่าเครื่องอบแห้ง	6.66	7.81	8.15	5.43	5.72	5.70	4.60	4.81	5.06
ค่าเสียโอกาสเงินลงทุน	2.18	2.55	2.66	1.78	1.87	1.87	1.50	1.57	1.66
รวมค่าใช้จ่ายในการลงทุน	8.83	10.36	10.81	7.20	7.59	7.57	6.10	6.38	6.72
ค่าใช้จ่ายในการดำเนินการ									
ค่าวัสดุคง	75.18	74.75	74.94	75.18	74.75	74.94	75.18	74.75	74.94
ค่าน้ำก๊าซหุงต้ม	43.54	47.09	51.55	53.33	40.33	46.80	52.72	43.58	44.31
ค่าไฟฟ้า	9.54	9.92	9.48	6.63	7.27	7.40	5.74	5.83	6.60
ค่าหันโดยใช้เครื่องหัน ^①	9.20	9.15	9.18	9.20	9.15	9.18	9.20	9.15	9.18
ค่าแรงในการอบแห้ง	23.56	22.05	20.18	22.07	18.75	17.43	20.74	17.56	16.54
ค่าเสียโอกาสเงินทุน	0.11	0.16	0.11	0.11	0.10	0.10	0.11	0.10	0.10
รวมค่าใช้จ่ายในการดำเนินการ	161.12	163.14	165.44	166.52	150.35	155.85	163.69	150.97	151.67
รวมต้นทุนในการผลิต	169.95	173.50	176.25	173.73	157.94	163.42	169.79	157.35	158.39

หมายเหตุ : ^① คูตัวอย่างวิธีการคำนวณค่าหันโดยใช้เครื่องหันหันในภาคผนวกที่ 2-2